

9 ANHANG

Tab. A 1: Median, Minimum und Maximum der IOS-Originaldaten und der rekalkulierten FAMOS-Daten beim Schwein (gemittelte Werte)

			IOS			FAMOS		
Parameter	Einheit	n	Median	Min	Max	Median	Min	Max
Rmi3	kPa l ⁻¹ s	832	0,910	0,320	2,220	0,827	0,337	2,510
Rmi5	kPa l ⁻¹ s	832	0,851	0,324	1,974	0,774	0,320	2,481
Rmi10	kPa l ⁻¹ s	832	0,749	0,329	1,644	0,671	0,292	2,280
Rmi15	kPa l ⁻¹ s	832	0,664	0,310	1,373	0,546	0,260	1,970
Rmi20	kPa l ⁻¹ s	832	0,679	0,312	1,509	0,611	0,286	2,248
Xmi3	kPa l ⁻¹ s	832	-0,080	-0,540	0,170	-0,069	-0,558	0,175
Xmi5	kPa l ⁻¹ s	832	-0,083	-0,640	0,131	-0,089	-0,662	0,270
Xmi10	kPa l ⁻¹ s	832	-0,102	-0,657	0,256	-0,127	-0,884	0,200
Xmi15	kPa l ⁻¹ s	832	-0,084	-0,519	0,283	-0,108	-0,701	0,136
Xmi20	kPa l ⁻¹ s	832	-0,070	-0,481	0,333	-0,082	-0,724	0,288
Comi3		832	0,90	0,30	1,00	0,86	0,63	0,96
Comi5		832	0,90	0,40	1,00	0,91	0,72	0,98
Comi10		832	0,90	0,70	1,00	0,96	0,71	0,99
Comi15		832	1,00	0,80	1,00	0,98	0,68	1,00
Comi20		832	1,00	0,80	1,00	0,99	0,66	1,00

Tab. A 2: Median, Minimum und Maximum der IOS-Originaldaten und der rekalkulierten FAMOS-Daten beim Schwein während der Inspiration

			IOS			FAMOS		
Parameter	Einheit	n	Median	Min	Max	Median	Min	Max
Rin3	kPa l ⁻¹ s	832	0,940	0,300	2,240	0,825	0,280	2,829
Rin5	kPa l ⁻¹ s	832	0,890	0,290	2,090	0,770	0,268	2,822
Rin10	kPa l ⁻¹ s	832	0,780	0,310	1,820	0,716	0,278	2,916
Rin15	kPa l ⁻¹ s	832	0,620	0,270	1,380	0,512	0,234	1,754
Rin20	kPa l ⁻¹ s	832	0,670	0,290	1,510	0,610	0,275	1,982
Xin3	kPa l ⁻¹ s	832	-0,090	-0,860	0,160	-0,075	-0,869	0,243
Xin5	kPa l ⁻¹ s	832	-0,110	-0,740	0,240	-0,090	-0,705	0,384
Xin10	kPa l ⁻¹ s	832	-0,140	-0,980	0,370	-0,150	-1,129	0,308
Xin15	kPa l ⁻¹ s	832	-0,090	-0,680	0,190	-0,120	-0,819	0,125
Xin20	kPa l ⁻¹ s	832	-0,040	-0,690	0,450	-0,037	-0,904	0,379
Coin3		832	0,90	0,60	1,00	0,86	0,58	1,00
Coin5		832	0,90	0,70	1,00	0,92	0,68	1,00
Coin10		832	1,00	0,80	1,00	0,97	0,71	1,00
Coin15		832	1,00	0,80	1,00	0,99	0,74	1,00
Coin20		832	1,00	0,80	1,00	0,99	0,77	1,00

Tab. A 3: Median, Minimum und Maximum der IOS-Originaldaten und der rekalkulierten FAMOS-Daten beim Schwein während der Expiration

			IOS - Original			FAMOS		
Parameter	Einheit	n	Median	Min	Max	Median	Min	Max
Rex3	kPa l ⁻¹ s	832	0,880	0,350	2,550	0,827	0,304	3,074
Rex5	kPa l ⁻¹ s	832	0,830	0,360	2,220	0,764	0,324	2,829
Rex10	kPa l ⁻¹ s	832	0,735	0,340	1,640	0,632	0,301	2,234
Rex15	kPa l ⁻¹ s	832	0,700	0,320	1,420	0,584	0,278	2,159
Rex20	kPa l ⁻¹ s	832	0,690	0,320	1,580	0,614	0,287	2,491
Xex3	kPa l ⁻¹ s	832	-0,070	-0,760	0,190	-0,071	-0,694	0,149
Xex5	kPa l ⁻¹ s	832	-0,080	-0,880	0,200	-0,090	-0,870	0,197
Xex10	kPa l ⁻¹ s	832	-0,070	-0,930	0,240	-0,112	-1,211	0,132
Xex15	kPa l ⁻¹ s	832	-0,070	-0,720	0,340	-0,097	-0,944	0,235
Xex20	kPa l ⁻¹ s	832	-0,100	-0,690	0,250	-0,118	-0,997	0,225
Coex3		832	0,80	0,10	1,00	0,87	0,51	1,00
Coex5		832	0,90	0,30	1,00	0,92	0,64	1,00
Coex10		832	0,90	0,60	1,00	0,96	0,60	1,00
Coex15		832	1,00	0,70	1,00	0,98	0,51	1,00
Coex20		832	1,00	0,70	1,00	0,99	0,47	1,00

Tab. A 4: Vergleich der aus FAMOS- und IOS-Analysen resultierenden Resistance-Werte für Schweine, Vorzeichenrangtest

Parameter	Einheit	n	Diff	5%	95%	p
Rin3	kPa l ⁻¹ s	832	0,085	-0,107	0,194	< 0,05
Rin5	kPa l ⁻¹ s	832	0,092	-0,078	0,179	< 0,05
Rin10	kPa l ⁻¹ s	832	0,059	-0,118	0,169	< 0,05
Rin15	kPa l ⁻¹ s	832	0,097	-0,018	0,178	< 0,05
Rin20	kPa l ⁻¹ s	832	0,056	-0,060	0,161	< 0,05
Rex3	kPa l ⁻¹ s	832	0,027	-0,254	0,116	< 0,05
Rex5	kPa l ⁻¹ s	832	0,036	-0,264	0,108	< 0,05
Rex10	kPa l ⁻¹ s	832	0,070	-0,110	0,128	< 0,05
Rex15	kPa l ⁻¹ s	832	0,088	-0,046	0,151	< 0,05
Rex20	kPa l ⁻¹ s	832	0,062	-0,081	0,126	< 0,05
Rmi3	kPa l ⁻¹ s	832	0,044	-0,164	0,12	< 0,05
Rmi5	kPa l ⁻¹ s	832	0,053	-0,170	0,125	< 0,05
Rmi10	kPa l ⁻¹ s	832	0,063	-0,108	0,123	< 0,05
Rmi15	kPa l ⁻¹ s	832	0,090	-0,022	0,163	< 0,05
Rmi20	kPa l ⁻¹ s	832	0,057	-0,07	0,134	< 0,05

Legende zu Tab. A 4:

Diff = Medianwerte der Differenzen zwischen den IOS-Originaldaten und den mittels FAMOS rekalkulierten Daten

5%, 95 % = 5 %- und 95 %-Percentil für Diff

p = Irrtumswahrscheinlichkeit für den Test

Tab. A 5: Vergleich der aus FAMOS- und IOS-Analysen resultierenden Reactance-Werte für Schweine, Vorzeichenrangtest

Parameter	Einheit	n	Diff	5%	95%	p
Xin3	kPa l ⁻¹ s	832	-0,019	-0,144	0,049	< 0,05
Xin5	kPa l ⁻¹ s	832	-0,017	-0,112	0,057	< 0,05
Xin10	kPa l ⁻¹ s	832	0,012	-0,070	0,107	< 0,05
Xin15	kPa l ⁻¹ s	832	0,028	-0,011	0,165	< 0,05
Xin20	kPa l ⁻¹ s	832	-0,003	-0,053	0,102	< 0,05
Xex3	kPa l ⁻¹ s	832	-0,019	-0,144	0,049	< 0,05
Xex5	kPa l ⁻¹ s	832	-0,017	-0,112	0,057	< 0,05
Xex10	kPa l ⁻¹ s	832	0,012	-0,070	0,107	< 0,05
Xex15	kPa l ⁻¹ s	832	0,028	-0,011	0,165	< 0,05
Xex20	kPa l ⁻¹ s	832	-0,003	-0,053	0,102	n.s.
Xmi3	kPa l ⁻¹ s	832	-0,007	-0,073	0,043	< 0,05
Xmi5	kPa l ⁻¹ s	832	0,003	-0,048	0,060	< 0,05
Xmi10	kPa l ⁻¹ s	832	0,030	-0,014	0,139	< 0,05
Xmi15	kPa l ⁻¹ s	832	0,021	-0,008	0,166	< 0,05
Xmi20	kPa l ⁻¹ s	832	0,007	-0,023	0,126	< 0,05

Legende zu Tab. A 5:

Diff = Medianwerte der Differenzen zwischen den IOS-Originaldaten und den mittels FAMOS rekalkulierten Daten

5%, 95 % = 5 %- und 95 %-Percentil für Diff

p = Irrtumswahrscheinlichkeit für den Test

Tab. A 6: Vergleich der aus FAMOS- und IOS-Analysen resultierenden Kohärenz-Werte für Schweine, Vorzeichenrangtest

Parameter	n	Median	5%	95%	p
Coin3	832	0,04	-0,07	0,17	< 0,05
Coin5	832	0,01	-0,07	0,11	< 0,05
Coin10	832	0,02	-0,07	0,05	< 0,05
Coin15	832	0,01	-0,05	0,03	< 0,05
Coin20	832	0,01	-0,05	0,03	< 0,05
Coex3	832	-0,03	-0,16	0,07	< 0,05
Coex5	832	-0,04	-0,16	0,03	< 0,05
Coex10	832	-0,06	-0,13	0,03	< 0,05
Coex15	832	0,00	-0,09	0,02	n.s.
Coex20	832	0,01	-0,09	0,03	< 0,05
Comi3	832	0,01	-0,11	0,09	< 0,05
Comi5	832	-0,03	-0,12	0,04	< 0,05
Comi10	832	-0,05	-0,09	0,03	< 0,05
Comi15	832	0,01	-0,08	0,03	< 0,05
Comi20	832	0,01	-0,08	0,02	< 0,05

Legende zu Tab. A 6:

Diff = Medianwerte der Differenzen zwischen den IOS-Originaldaten und den mittels FAMOS rekalkulierten Daten
 5%, 95 % = 5 %- und 95 %-Percentil für Diff
 p = Irrtumswahrscheinlichkeit für den Test

Tab. A 7: Median, Minimum und Maximum der IOS-Originaldaten und der rekalkulierten FAMOS-Daten beim Kalb (gemittelte Werte)

Parameter	Einheit	IOS - Original				FAMOS			
		n	Median	Min	Max	n	Median	Min	Max
Rmi3	kPa l ⁻¹ s	900	0,340	0,140	1,150	900	0,343	0,170	1,241
Rmi5	kPa l ⁻¹ s	900	0,353	0,146	1,011	900	0,348	0,170	1,155
Rmi10	kPa l ⁻¹ s	900	0,334	0,160	0,926	900	0,311	0,153	1,003
Rmi15	kPa l ⁻¹ s	900	0,334	0,162	0,931	900	0,296	0,153	1,060
Rmi20	kPa l ⁻¹ s	900	0,397	0,160	0,997	900	0,369	0,151	1,066
Xmi3	kPa l ⁻¹ s	900	0,010	-0,310	0,130	900	0,011	-0,55	0,103
Xmi5	kPa l ⁻¹ s	900	0,009	-0,278	0,091	900	0,015	-0,264	0,133
Xmi10	kPa l ⁻¹ s	900	0,018	-0,199	0,124	900	0,010	-0,250	0,105
Xmi15	kPa l ⁻¹ s	900	0,070	-0,150	0,179	900	0,069	-0,178	0,158
Xmi20	kPa l ⁻¹ s	900	0,107	-0,129	0,313	900	0,112	-0,260	0,295
Comi3		896	0,50	0,00	0,90	900	0,81	0,39	0,95
Comi5		900	0,60	0,10	1,00	900	0,89	0,50	0,98
Comi10		900	0,90	0,40	1,00	900	0,97	0,70	0,99
Comi15		900	1,00	0,60	1,00	900	0,99	0,69	1,00
Comi20		900	1,00	0,60	1,00	900	0,99	0,68	1,00

Tab. A 8: Median, Minimum und Maximum der IOS-Originaldaten und der rekalkulierten FAMOS-Daten beim Kalb während der Inspiration

Parameter	Einheit	IOS - Original				FAMOS			
		n	Median	Min	Max	n	Median	Min	Max
Rin3	kPa l ⁻¹ s	900	0,370	0,120	1,120	900	0,379	0,160	1,381
Rin5	kPa l ⁻¹ s	900	0,420	0,130	1,080	900	0,419	0,164	1,347
Rin10	kPa l ⁻¹ s	900	0,350	0,150	1,000	900	0,328	0,144	1,280
Rin15	kPa l ⁻¹ s	900	0,335	0,160	1,020	900	0,291	0,151	1,454
Rin20	kPa l ⁻¹ s	900	0,428	0,160	1,140	900	0,405	0,152	1,474
Xin3	kPa l ⁻¹ s	900	0,030	-0,630	0,230	900	0,036	-0,215	0,176
Xin5	kPa l ⁻¹ s	900	0,002	-0,420	0,210	900	0,024	-0,239	0,232
Xin10	kPa l ⁻¹ s	900	-0,020	-0,230	0,110	900	-0,029	-0,840	0,085
Xin15	kPa l ⁻¹ s	900	0,080	-0,160	0,200	900	0,081	-0,199	0,187
Xin20	kPa l ⁻¹ s	900	0,120	-0,180	0,350	900	0,132	-0,193	0,373
Coin3		880	0,40	0,00	1,00	900	0,79	0,38	0,97
Coin5		900	0,60	0,00	1,00	900	0,87	0,46	0,98
Coin10		900	0,90	0,50	1,00	900	0,96	0,68	0,99
Coin15		900	1,00	0,60	1,00	900	0,99	0,72	1,00
Coin20		900	1,00	0,60	1,00	900	0,99	0,60	1,00

Tab. A 9: Median, Minimum und Maximum der IOS-Originaldaten und der rekalkulierten FAMOS-Daten beim Kalb während der Expiration

Parameter	Einheit	IOS - Original				FAMOS			
		n	Median	Min	Max	n	Median	Min	Max
Rex3	kPa l ⁻¹ s	900	0,320	0,120	1,070	900	0,322	0,160	1,085
Rex5	kPa l ⁻¹ s	900	0,310	0,140	0,900	900	0,298	0,149	0,952
Rex10	kPa l ⁻¹ s	900	0,330	0,160	0,870	900	0,296	0,153	0,914
Rex15	kPa l ⁻¹ s	900	0,330	0,160	0,830	900	0,298	0,155	0,859
Rex20	kPa l ⁻¹ s	900	0,380	0,160	0,840	900	0,340	0,150	0,893
Xex3	kPa l ⁻¹ s	900	-0,010	-0,360	0,130	900	-0,003	-0,900	0,077
Xex5	kPa l ⁻¹ s	900	0,010	-0,350	0,090	900	0,009	-0,377	0,098
Xex10	kPa l ⁻¹ s	900	0,040	-0,250	0,140	900	0,039	-0,318	0,141
Xex15	kPa l ⁻¹ s	900	0,060	-0,200	0,160	900	0,061	-0,214	0,151
Xex20	kPa l ⁻¹ s	900	0,090	-0,170	0,230	900	0,094	-0,153	0,234
Coex3		899	0,60	0,00	1,00	900	0,84	0,37	0,98
Coex5		900	0,70	0,10	1,00	900	0,92	0,48	0,99
Coex10		900	0,90	0,20	1,00	900	0,98	0,71	1,00
Coex15		900	1,00	0,40	1,00	900	0,99	0,67	1,00
Coex20		900	1,00	0,40	1,00	900	0,99	0,66	1,00

Tab. A 10: Vergleich der aus FAMOS- und IOS-Analysen resultierenden Resistance-Werte für Kälber, Vorzeichenrangtest

Parameter	Einheit	n	Diff	5%	95%	p
Rin3	kPa l ⁻¹ s	900	0,000	-0,109	0,120	n.s.
Rin5	kPa l ⁻¹ s	900	0,006	-0,097	0,078	< 0,05
Rin10	kPa l ⁻¹ s	900	0,021	-0,041	0,064	< 0,05
Rin15	kPa l ⁻¹ s	900	0,045	0,007	0,078	< 0,05
Rin20	kPa l ⁻¹ s	900	0,027	-0,027	0,084	< 0,05
Rex3	kPa l ⁻¹ s	900	0,002	-0,081	0,083	n.s.
Rex5	kPa l ⁻¹ s	900	0,015	-0,044	0,065	< 0,05
Rex10	kPa l ⁻¹ s	900	0,030	0,002	0,057	< 0,05
Rex15	kPa l ⁻¹ s	900	0,034	0,012	0,062	< 0,05
Rex20	kPa l ⁻¹ s	900	0,037	0,015	0,067	< 0,05
Rmi3	kPa l ⁻¹ s	900	0,003	-0,076	0,092	n.s.
Rmi5	kPa l ⁻¹ s	900	0,004	-0,055	0,061	< 0,05
Rmi10	kPa l ⁻¹ s	900	0,025	-0,009	0,056	< 0,05
Rmi15	kPa l ⁻¹ s	900	0,037	0,009	0,064	< 0,05
Rmi20	kPa l ⁻¹ s	900	0,029	-0,002	0,069	< 0,05

Legende zu Tab. A 10:

Diff = Medianwerte der Differenzen zwischen den IOS-Originaldaten und den mittels FAMOS rekalkulierten Daten

5 %, 95 % = 5 %- und 95 %-Percentil für Diff

p = Irrtumswahrscheinlichkeit für den Test

Tab. A 11: Vergleich der aus FAMOS- und IOS-Analysen resultierenden Reactance-Werte für Kälber, Vorzeichenrangtest

Parameter	Einheit	n	Diff	5%	95%	p
Xin3	kPa l ⁻¹ s	900	-0,004	-0,102	0,056	< 0,05
Xin5	kPa l ⁻¹ s	900	-0,022	-0,132	0,039	< 0,05
Xin10	kPa l ⁻¹ s	900	0,011	-0,018	0,049	< 0,05
Xin15	kPa l ⁻¹ s	900	0,004	-0,012	0,032	< 0,05
Xin20	kPa l ⁻¹ s	900	-0,005	-0,076	0,027	< 0,05
Xex3	kPa l ⁻¹ s	900	-0,006	-0,093	0,051	< 0,05
Xex5	kPa l ⁻¹ s	900	-0,001	-0,065	0,043	n.s.
Xex10	kPa l ⁻¹ s	900	0,003	-0,013	0,018	< 0,05
Xex15	kPa l ⁻¹ s	900	0,003	-0,011	0,017	< 0,05
Xex20	kPa l ⁻¹ s	900	-0,001	-0,021	0,015	< 0,05
Xmi3	kPa l ⁻¹ s	900	-0,008	-0,083	0,035	< 0,05
Xmi5	kPa l ⁻¹ s	900	-0,012	-0,077	0,029	< 0,05
Xmi10	kPa l ⁻¹ s	900	0,008	-0,008	0,029	< 0,05
Xmi15	kPa l ⁻¹ s	900	0,003	-0,008	0,022	< 0,05
Xmi20	kPa l ⁻¹ s	900	-0,002	-0,027	0,019	< 0,05

Legende zu Tab. A 11:

Diff = Medianwerte der Differenzen zwischen den IOS-Originaldaten und den mittels FAMOS rekalkulierten Daten

5 %, 95 % = 5 %- und 95 %-Percentil für Diff

p = Irrtumswahrscheinlichkeit für den Test

Tab. A 12: Vergleich der aus FAMOS- und IOS-Analysen resultierenden Kohärenz-Werte für Kälber, Vorzeichenrangtest

Parameter	n	Diff	5%	95%	p
Coin3	880	-0,33	-0,74	0,04	< 0,05
Coin5	900	-0,26	-0,62	0,02	< 0,05
Coin10	900	-0,06	-0,22	0,03	< 0,05
Coin15	900	0,00	-0,10	0,03	< 0,05
Coin20	900	0,00	-0,09	0,02	< 0,05
Coex3	899	-0,24	-0,69	-0,01	< 0,05
Coex5	900	-0,17	-0,48	-0,03	< 0,05
Coex10	900	0,00	-0,13	0,03	n.s.
Coex15	900	0,00	-0,09	0,02	< 0,05
Coex20	900	0,00	-0,09	0,02	< 0,05
Comi3	896	-0,28	-0,70	-0,01	< 0,05
Comi5	900	-0,22	-0,52	-0,02	< 0,05
Comi10	900	-0,07	-0,15	0,02	< 0,05
Comi15	900	0,00	-0,09	0,02	< 0,05
Comi20	900	0,01	-0,09	0,02	< 0,05

Legende zu Tab. A 12:

Diff = Medianwerte der Differenzen zwischen den IOS-Originaldaten und den mittels FAMOS rekalkulierten Daten

5 %, 95 % = 5 %- und 95 %-Percentil für Diff

p = Irrtumswahrscheinlichkeit für den Test

Tab. A 13: Median, Minimum, Maximum und Irrtumswahrscheinlichkeit (p) der respiratorischen Resistance beim Schwein (Absolutwerte)

Parameter	Zeit	Einheit	Gruppe I (Chl-) n = 7			Gruppe III (Chl+) n = 6			W-Test
			Median	Min	Max	Median	Min	Max	
Rin1Hz	1	kPa l ⁻¹ s	2,331	1,445	2,946	2,204	1,716	2,803	n.s.
Rin2Hz	1	kPa l ⁻¹ s	2,019	1,293	2,255	1,950	1,530	2,612	n.s.
Rin3Hz	1	kPa l ⁻¹ s	1,844	1,220	2,009	1,819	1,439	2,530	n.s.
Rin4Hz	1	kPa l ⁻¹ s	1,672	1,139	1,949	1,672	1,345	2,448	n.s.
Rin5Hz	1	kPa l ⁻¹ s	1,628	1,100	1,928	1,603	1,297	2,408	n.s.
Rin6Hz	1	kPa l ⁻¹ s	1,599	1,056	1,905	1,552	1,230	2,353	n.s.
Rin7Hz	1	kPa l ⁻¹ s	1,592	1,035	1,890	1,522	1,191	2,388	n.s.
Rin8Hz	1	kPa l ⁻¹ s	1,590	1,011	1,834	1,483	1,131	2,109	n.s.
Rin9Hz	1	kPa l ⁻¹ s	1,544	0,996	1,828	1,289	1,060	1,902	n.s.
Rin10Hz	1	kPa l ⁻¹ s	1,519	0,989	1,723	1,233	1,010	1,795	n.s.
Rin1Hz	23	kPa l ⁻¹ s	0,646	0,516	0,838	0,593	0,404	0,767	n.s.
Rin2Hz	23	kPa l ⁻¹ s	0,640	0,486	0,790	0,550	0,393	0,739	n.s.
Rin3Hz	23	kPa l ⁻¹ s	0,594	0,464	0,777	0,529	0,387	0,725	n.s.
Rin4Hz	23	kPa l ⁻¹ s	0,548	0,437	0,758	0,509	0,383	0,709	n.s.
Rin5Hz	23	kPa l ⁻¹ s	0,542	0,425	0,745	0,504	0,385	0,697	n.s.
Rin6Hz	23	kPa l ⁻¹ s	0,570	0,415	0,727	0,511	0,399	0,654	n.s.
Rin7Hz	23	kPa l ⁻¹ s	0,636	0,413	0,719	0,522	0,415	0,605	n.s.
Rin8Hz	23	kPa l ⁻¹ s	0,584	0,412	0,796	0,539	0,450	0,628	n.s.
Rin9Hz	23	kPa l ⁻¹ s	0,579	0,419	0,726	0,537	0,409	0,612	n.s.
Rin10Hz	23	kPa l ⁻¹ s	0,535	0,426	0,647	0,490	0,378	0,588	n.s.
Rex1Hz	1	kPa l ⁻¹ s	2,042	1,190	2,702	2,075	1,509	2,305	n.s.
Rex2Hz	1	kPa l ⁻¹ s	1,926	1,088	2,385	1,847	1,365	2,123	n.s.
Rex3Hz	1	kPa l ⁻¹ s	1,915	1,046	2,301	1,766	1,303	2,030	n.s.
Rex4Hz	1	kPa l ⁻¹ s	1,841	1,002	2,262	1,696	1,242	1,926	n.s.
Rex5Hz	1	kPa l ⁻¹ s	1,779	0,983	2,282	1,638	1,219	1,876	n.s.
Rex6Hz	1	kPa l ⁻¹ s	1,712	0,959	2,393	1,570	1,202	1,799	n.s.
Rex7Hz	1	kPa l ⁻¹ s	1,666	0,947	2,564	1,540	1,188	1,805	n.s.
Rex8Hz	1	kPa l ⁻¹ s	1,574	0,936	2,483	1,468	1,131	1,663	n.s.
Rex9Hz	1	kPa l ⁻¹ s	1,511	0,931	2,067	1,383	1,056	1,473	n.s.
Rex10Hz	1	kPa l ⁻¹ s	1,489	0,931	1,938	1,31	1,016	1,442	n.s.
Rex1Hz	23	kPa l ⁻¹ s	0,757	0,427	0,850	0,759	0,393	1,069	n.s.
Rex2Hz	23	kPa l ⁻¹ s	0,669	0,419	0,798	0,643	0,387	0,781	n.s.
Rex3Hz	23	kPa l ⁻¹ s	0,645	0,416	0,770	0,588	0,387	0,697	n.s.
Rex4Hz	23	kPa l ⁻¹ s	0,625	0,416	0,728	0,540	0,380	0,641	n.s.
Rex5Hz	23	kPa l ⁻¹ s	0,618	0,419	0,703	0,522	0,374	0,635	n.s.
Rex6Hz	23	kPa l ⁻¹ s	0,615	0,425	0,680	0,507	0,369	0,636	n.s.
Rex7Hz	23	kPa l ⁻¹ s	0,616	0,431	0,634	0,500	0,368	0,629	n.s.
Rex8Hz	23	kPa l ⁻¹ s	0,569	0,435	0,669	0,486	0,368	0,618	n.s.
Rex9Hz	23	kPa l ⁻¹ s	0,535	0,429	0,615	0,463	0,372	0,607	n.s.
Rex10Hz	23	kPa l ⁻¹ s	0,521	0,430	0,601	0,450	0,375	0,600	n.s.

Tab. A 14: Median, Minimum, Maximum und Irrtumswahrscheinlichkeit (p) der respiratorischen Reactance beim Schwein (Absolutwerte)

Parameter	Zeit	Einheit	Gruppe I (Chl-) n = 7			Gruppe III (Chl+) n = 6			W-Test
			Median	Min	Max	Median	Min	Max	
Xin1Hz	1	kPa l ⁻¹ s	-0,247	-0,456	-0,113	-0,165	-0,263	-0,101	n.s.
Xin2Hz	1	kPa l ⁻¹ s	-0,391	-0,543	-0,191	-0,299	-0,446	-0,187	n.s.
Xin3Hz	1	kPa l ⁻¹ s	-0,415	-0,559	-0,216	-0,356	-0,503	-0,218	n.s.
Xin4Hz	1	kPa l ⁻¹ s	-0,393	-0,585	-0,229	-0,395	-0,539	-0,248	n.s.
Xin5Hz	1	kPa l ⁻¹ s	-0,346	-0,580	-0,229	-0,411	-0,565	-0,267	n.s.
Xin6Hz	1	kPa l ⁻¹ s	-0,330	-0,561	-0,222	-0,447	-0,696	-0,306	n.s.
Xin7Hz	1	kPa l ⁻¹ s	-0,293	-0,544	-0,214	-0,485	-0,840	-0,343	< 0,05
Xin8Hz	1	kPa l ⁻¹ s	-0,315	-0,556	-0,203	-0,544	-0,922	-0,397	< 0,05
Xin9Hz	1	kPa l ⁻¹ s	-0,369	-0,546	-0,192	-0,514	-0,927	-0,395	n.s.
Xin10Hz	1	kPa l ⁻¹ s	-0,403	-0,534	-0,189	-0,511	-0,912	-0,383	n.s.
Xin1Hz	23	kPa l ⁻¹ s	-0,018	-0,049	0,002	-0,013	-0,045	0,004	n.s.
Xin2Hz	23	kPa l ⁻¹ s	-0,049	-0,096	-0,012	-0,032	-0,076	0,004	n.s.
Xin3Hz	23	kPa l ⁻¹ s	-0,057	-0,122	-0,023	-0,037	-0,102	0,008	n.s.
Xin4Hz	23	kPa l ⁻¹ s	-0,061	-0,153	-0,025	-0,036	-0,147	0,024	n.s.
Xin5Hz	23	kPa l ⁻¹ s	-0,061	-0,168	-0,016	-0,032	-0,182	0,038	n.s.
Xin6Hz	23	kPa l ⁻¹ s	-0,062	-0,187	0,000	-0,026	-0,231	0,063	n.s.
Xin7Hz	23	kPa l ⁻¹ s	-0,053	-0,200	0,002	-0,035	-0,245	0,077	n.s.
Xin8Hz	23	kPa l ⁻¹ s	-0,120	-0,217	-0,021	-0,067	-0,231	0,065	n.s.
Xin9Hz	23	kPa l ⁻¹ s	-0,173	-0,246	-0,017	-0,113	-0,211	-0,001	n.s.
Xin10Hz	23	kPa l ⁻¹ s	-0,150	-0,211	-0,017	-0,133	-0,214	-0,053	n.s.
Xex1Hz	1	kPa l ⁻¹ s	-0,163	-0,237	-0,020	-0,161	-0,192	-0,089	n.s.
Xex2Hz	1	kPa l ⁻¹ s	-0,218	-0,437	-0,032	-0,264	-0,359	-0,139	n.s.
Xex3Hz	1	kPa l ⁻¹ s	-0,218	-0,513	-0,036	-0,315	-0,429	-0,156	n.s.
Xex4Hz	1	kPa l ⁻¹ s	-0,192	-0,570	-0,066	-0,363	-0,504	-0,178	n.s.
Xex5Hz	1	kPa l ⁻¹ s	-0,167	-0,586	-0,096	-0,384	-0,548	-0,195	n.s.
Xex6Hz	1	kPa l ⁻¹ s	-0,244	-0,583	-0,122	-0,404	-0,607	-0,233	n.s.
Xex7Hz	1	kPa l ⁻¹ s	-0,394	-0,569	-0,115	-0,420	-0,630	-0,269	n.s.
Xex8Hz	1	kPa l ⁻¹ s	-0,453	-0,863	-0,105	-0,462	-0,645	-0,317	n.s.
Xex9Hz	1	kPa l ⁻¹ s	-0,452	-0,930	-0,096	-0,454	-0,621	-0,336	n.s.
Xex10Hz	1	kPa l ⁻¹ s	-0,445	-0,955	-0,093	-0,449	-0,601	-0,339	n.s.
Xex1Hz	23	kPa l ⁻¹ s	-0,026	-0,041	0,002	-0,037	-0,178	0,016	n.s.
Xex2Hz	23	kPa l ⁻¹ s	-0,057	-0,066	0,005	-0,059	-0,198	0,027	n.s.
Xex3Hz	23	kPa l ⁻¹ s	-0,068	-0,082	0,008	-0,069	-0,195	0,031	n.s.
Xex4Hz	23	kPa l ⁻¹ s	-0,080	-0,108	0,011	-0,079	-0,192	0,034	n.s.
Xex5Hz	23	kPa l ⁻¹ s	-0,084	-0,123	0,012	-0,083	-0,200	0,035	n.s.
Xex6Hz	23	kPa l ⁻¹ s	-0,077	-0,146	0,013	-0,087	-0,213	0,035	n.s.
Xex7Hz	23	kPa l ⁻¹ s	-0,076	-0,153	0,013	-0,091	-0,210	0,034	n.s.
Xex8Hz	23	kPa l ⁻¹ s	-0,101	-0,145	0,009	-0,099	-0,202	0,031	n.s.
Xex9Hz	23	kPa l ⁻¹ s	-0,107	-0,131	0,002	-0,100	-0,190	0,028	n.s.
Xex10Hz	23	kPa l ⁻¹ s	-0,094	-0,119	-0,005	-0,100	-0,184	0,025	n.s.

Tab. A 15: Median, Minimum, Maximum und Irrtumswahrscheinlichkeit (p) der respiratorischen Resistance beim Schwein (pro kg Körpermasse)

Parameter	Zeit	Einheit	Gruppe I (ChI-) n = 7			Gruppe III (ChI+) n = 6			W-Test
			Median	Min	Max	Median	Min	Max	
Rin1Hz	1	kPa l ⁻¹ s	246,444	160,500	323,736	237,949	199,205	318,523	n.s.
Rin2Hz	1	kPa l ⁻¹ s	225,059	143,611	262,143	212,779	173,807	296,818	n.s.
Rin3Hz	1	kPa l ⁻¹ s	210,647	135,556	239,481	200,271	163,523	287,500	n.s.
Rin4Hz	1	kPa l ⁻¹ s	196,706	126,556	216,556	186,711	152,841	278,182	n.s.
Rin5Hz	1	kPa l ⁻¹ s	191,529	122,167	214,222	181,752	147,784	273,58	n.s.
Rin6Hz	1	kPa l ⁻¹ s	183,077	117,278	211,667	178,677	143,182	267,386	n.s.
Rin7Hz	1	kPa l ⁻¹ s	175,195	114,944	210,000	175,101	143,466	271,307	n.s.
Rin8Hz	1	kPa l ⁻¹ s	164,935	112,333	201,538	170,351	141,136	239,659	n.s.
Rin9Hz	1	kPa l ⁻¹ s	157,273	110,667	200,879	148,59	131,42	216,08	n.s.
Rin10Hz	1	kPa l ⁻¹ s	153,312	109,889	189,341	141,255	120,114	203,92	n.s.
Rin1Hz	23	kPa l ⁻¹ s	9,781	8,016	11,448	6,590	4,377	8,950	< 0,05
Rin2Hz	23	kPa l ⁻¹ s	9,430	7,529	10,649	6,316	4,252	8,623	< 0,05
Rin3Hz	23	kPa l ⁻¹ s	9,134	7,199	10,253	6,043	4,187	8,454	< 0,05
Rin4Hz	23	kPa l ⁻¹ s	8,602	6,743	9,699	5,632	4,144	8,273	< 0,05
Rin5Hz	23	kPa l ⁻¹ s	8,356	6,49	9,532	5,464	4,171	8,133	< 0,05
Rin6Hz	23	kPa l ⁻¹ s	8,159	6,281	9,649	5,410	4,323	7,625	< 0,05
Rin7Hz	23	kPa l ⁻¹ s	8,120	6,238	9,912	5,658	4,496	7,195	< 0,05
Rin8Hz	23	kPa l ⁻¹ s	8,558	6,361	10,082	6,263	4,875	7,394	< 0,05
Rin9Hz	23	kPa l ⁻¹ s	8,034	7,295	9,067	5,935	4,426	7,230	< 0,05
Rin10Hz	23	kPa l ⁻¹ s	7,302	7,022	8,386	5,714	4,090	6,795	< 0,05
Rex1Hz	1	kPa l ⁻¹ s	235,794	132,167	317,824	230,100	171,477	261,932	n.s.
Rex2Hz	1	kPa l ⁻¹ s	214,813	120,833	280,529	206,953	155,057	241,250	n.s.
Rex3Hz	1	kPa l ⁻¹ s	210,440	116,167	270,706	198,777	148,011	230,682	n.s.
Rex4Hz	1	kPa l ⁻¹ s	204,556	111,333	266,118	192,036	141,080	218,807	n.s.
Rex5Hz	1	kPa l ⁻¹ s	197,667	109,222	268,471	189,795	138,466	213,125	n.s.
Rex6Hz	1	kPa l ⁻¹ s	190,222	106,556	281,529	179,330	136,591	204,375	n.s.
Rex7Hz	1	kPa l ⁻¹ s	186,444	105,167	301,647	172,652	134,943	198,352	n.s.
Rex8Hz	1	kPa l ⁻¹ s	181,333	103,944	292,059	163,513	128,523	182,747	n.s.
Rex9Hz	1	kPa l ⁻¹ s	172,597	103,444	243,176	154,834	120,000	167,386	n.s.
Rex10Hz	1	kPa l ⁻¹ s	167,338	103,389	228,000	148,121	115,455	160,455	n.s.
Rex1Hz	23	kPa l ⁻¹ s	10,888	5,406	13,315	8,182	4,778	12,474	n.s.
Rex2Hz	23	kPa l ⁻¹ s	9,781	5,311	12,508	7,043	4,431	9,113	n.s.
Rex3Hz	23	kPa l ⁻¹ s	9,430	5,272	12,069	6,633	4,280	8,133	n.s.
Rex4Hz	23	kPa l ⁻¹ s	9,078	5,272	11,411	6,262	4,117	7,450	n.s.
Rex5Hz	23	kPa l ⁻¹ s	8,880	5,311	11,011	6,127	4,052	7,310	n.s.
Rex6Hz	23	kPa l ⁻¹ s	8,593	5,387	10,650	5,954	3,998	7,007	n.s.
Rex7Hz	23	kPa l ⁻¹ s	8,408	5,456	9,859	5,873	3,982	6,622	n.s.
Rex8Hz	23	kPa l ⁻¹ s	8,101	5,351	9,781	5,673	3,987	6,137	n.s.
Rex9Hz	23	kPa l ⁻¹ s	7,814	5,283	8,984	5,419	4,025	6,023	< 0,05
Rex10Hz	23	kPa l ⁻¹ s	7,698	5,289	8,888	5,365	4,063	5,953	< 0,05

Tab. A 16: Median, Minimum, Maximum und Irrtumswahrscheinlichkeit (p) der respiratorischen Reactance beim Schwein (pro kg Körpermasse)

Parameter	Zeit	Einheit	Gruppe I (Chl-) n = 7			Gruppe III (Chl+) n = 6			W-Test
			Median	Min	Max	Median	Min	Max	
Xin1Hz	1	kPa l ⁻¹ s	-23,037	-50,110	-12,500	-19,834	-31,687	-11,044	n.s.
Xin2Hz	1	kPa l ⁻¹ s	-36,495	-65,325	-21,222	-36,194	-53,735	-20,549	n.s.
Xin3Hz	1	kPa l ⁻¹ s	-38,785	-72,597	-23,944	-41,578	-60,602	-23,901	n.s.
Xin4Hz	1	kPa l ⁻¹ s	-37,243	-75,909	-25,444	-45,421	-64,940	-27,198	n.s.
Xin5Hz	1	kPa l ⁻¹ s	-37,889	-75,325	-25,389	-47,232	-66,084	-29,341	n.s.
Xin6Hz	1	kPa l ⁻¹ s	-31,429	-72,857	-24,611	-51,130	-79,091	-34,716	n.s.
Xin7Hz	1	kPa l ⁻¹ s	-30,654	-70,649	-23,778	-55,065	-95,398	-38,977	n.s.
Xin8Hz	1	kPa l ⁻¹ s	-34,529	-66,364	-22,500	-62,66	-104,716	-46,705	< 0,05
Xin9Hz	1	kPa l ⁻¹ s	-37,941	-61,883	-21,333	-60,255	-105,341	-49,890	n.s.
Xin10Hz	1	kPa l ⁻¹ s	-38,471	-59,416	-20,944	-59,028	-103,636	-47,088	n.s.
Xin1Hz	23	kPa l ⁻¹ s	-0,276	-0,663	0,022	-0,126	-0,514	0,043	n.s.
Xin2Hz	23	kPa l ⁻¹ s	-0,639	-1,311	-0,175	-0,311	-0,863	0,042	n.s.
Xin3Hz	23	kPa l ⁻¹ s	-0,887	-1,667	-0,329	-0,366	-1,184	0,098	n.s.
Xin4Hz	23	kPa l ⁻¹ s	-0,965	-2,083	-0,311	-0,356	-1,709	0,288	n.s.
Xin5Hz	23	kPa l ⁻¹ s	-0,896	-2,288	-0,196	-0,314	-2,124	0,466	n.s.
Xin6Hz	23	kPa l ⁻¹ s	-0,972	-2,555	0,000	-0,265	-2,695	0,772	n.s.
Xin7Hz	23	kPa l ⁻¹ s	-0,792	-2,725	0,019	-0,377	-2,853	0,944	n.s.
Xin8Hz	23	kPa l ⁻¹ s	-1,521	-3,173	-0,404	-0,714	-2,690	0,797	n.s.
Xin9Hz	23	kPa l ⁻¹ s	-2,357	-3,596	-0,335	-1,201	-2,456	-0,012	n.s.
Xin10Hz	23	kPa l ⁻¹ s	-2,042	-2,946	-0,335	-1,404	-2,582	-0,650	n.s.
Xex1Hz	1	kPa l ⁻¹ s	-18,235	-26,333	-2,198	-17,259	-21,818	-10,057	n.s.
Xex2Hz	1	kPa l ⁻¹ s	-20,762	-40,841	-3,516	-30,487	-40,739	-15,739	n.s.
Xex3Hz	1	kPa l ⁻¹ s	-20,762	-47,897	-3,956	-36,547	-48,693	-17,727	n.s.
Xex4Hz	1	kPa l ⁻¹ s	-18,286	-53,271	-7,253	-42,377	-57,273	-20,17	n.s.
Xex5Hz	1	kPa l ⁻¹ s	-15,905	-54,72	-10,549	-44,878	-62,273	-22,102	n.s.
Xex6Hz	1	kPa l ⁻¹ s	-28,647	-55,714	-12,762	-47,288	-68,977	-26,477	n.s.
Xex7Hz	1	kPa l ⁻¹ s	-43,778	-57,468	-11,619	-50,462	-71,534	-30,511	n.s.
Xex8Hz	1	kPa l ⁻¹ s	-50,047	-101,471	-11,611	-56,864	-73,295	-36,023	n.s.
Xex9Hz	1	kPa l ⁻¹ s	-46,402	-109,353	-10,667	-54,658	-70,511	-38,125	n.s.
Xex10Hz	1	kPa l ⁻¹ s	-45,444	-112,294	-10,333	-51,991	-68,295	-38,466	n.s.
Xex1Hz	23	kPa l ⁻¹ s	-0,416	-0,553	0,019	-0,405	-2,071	0,190	n.s.
Xex2Hz	23	kPa l ⁻¹ s	-0,707	-0,980	0,063	-0,640	-2,310	0,325	n.s.
Xex3Hz	23	kPa l ⁻¹ s	-0,881	-1,277	0,095	-0,737	-2,270	0,374	n.s.
Xex4Hz	23	kPa l ⁻¹ s	-1,016	-1,685	0,133	-0,845	-2,240	0,417	n.s.
Xex5Hz	23	kPa l ⁻¹ s	-1,061	-1,920	0,152	-0,908	-2,328	0,429	n.s.
Xex6Hz	23	kPa l ⁻¹ s	-1,148	-2,288	0,158	-0,948	-2,485	0,429	n.s.
Xex7Hz	23	kPa l ⁻¹ s	-1,171	-2,390	0,158	-0,984	-2,445	0,417	n.s.
Xex8Hz	23	kPa l ⁻¹ s	-1,272	-2,273	0,114	-1,064	-2,351	0,380	n.s.
Xex9Hz	23	kPa l ⁻¹ s	-1,328	-2,045	0,025	-1,152	-2,217	0,337	n.s.
Xex10Hz	23	kPa l ⁻¹ s	-1,359	-1,865	-0,063	-1,165	-2,147	0,306	n.s.

Tab. A 17: Median, Minimum, Maximum und Irrtumswahrscheinlichkeit (p) der Kohärenz beim Schwein

Parameter	Zeit	Gruppe I (Chl-) n = 7			Gruppe III (Chl+) n = 6			W-Test
		Median	Min	Max	Median	Min	Max	
Coin1 Hz	1	0,80	0,47	0,90	0,73	0,62	0,87	n.s.
Coin2 Hz	1	0,85	0,58	0,93	0,79	0,69	0,91	n.s.
Coin3 Hz	1	0,89	0,67	0,95	0,83	0,76	0,94	n.s.
Coin4 Hz	1	0,94	0,81	0,97	0,89	0,85	0,97	n.s.
Coin5 Hz	1	0,96	0,86	0,98	0,91	0,87	0,97	n.s.
Coin6 Hz	1	0,95	0,89	0,98	0,92	0,89	0,97	n.s.
Coin7 Hz	1	0,96	0,90	0,98	0,92	0,88	0,97	n.s.
Coin8 Hz	1	0,96	0,92	0,98	0,93	0,90	0,97	n.s.
Coin9 Hz	1	0,97	0,94	0,99	0,95	0,93	0,97	n.s.
Coin10 Hz	1	0,98	0,95	0,99	0,97	0,95	0,98	n.s.
Coin1 Hz	23	0,75	0,72	0,84	0,75	0,69	0,92	n.s.
Coin2 Hz	23	0,81	0,76	0,86	0,80	0,73	0,93	n.s.
Coin3 Hz	23	0,85	0,80	0,90	0,84	0,76	0,94	n.s.
Coin4 Hz	23	0,90	0,85	0,93	0,89	0,81	0,95	n.s.
Coin5 Hz	23	0,92	0,87	0,95	0,91	0,83	0,96	n.s.
Coin6 Hz	23	0,93	0,89	0,97	0,93	0,84	0,95	n.s.
Coin7 Hz	23	0,95	0,89	0,97	0,93	0,85	0,96	n.s.
Coin8 Hz	23	0,96	0,89	0,97	0,93	0,86	0,97	n.s.
Coin9 Hz	23	0,96	0,91	0,99	0,95	0,89	0,97	n.s.
Coin10 Hz	23	0,97	0,91	0,99	0,97	0,89	0,97	n.s.
Coex1 Hz	1	0,82	0,60	0,92	0,84	0,63	0,91	n.s.
Coex2 Hz	1	0,85	0,66	0,95	0,87	0,69	0,93	n.s.
Coex3 Hz	1	0,87	0,71	0,97	0,89	0,73	0,94	n.s.
Coex4 Hz	1	0,88	0,79	0,98	0,91	0,78	0,95	n.s.
Coex5 Hz	1	0,89	0,82	0,98	0,92	0,80	0,95	n.s.
Coex6 Hz	1	0,89	0,85	0,98	0,93	0,81	0,95	n.s.
Coex7 Hz	1	0,90	0,84	0,98	0,93	0,81	0,95	n.s.
Coex8 Hz	1	0,91	0,85	0,98	0,94	0,82	0,96	n.s.
Coex9 Hz	1	0,93	0,90	0,99	0,95	0,86	0,96	n.s.
Coex10 Hz	1	0,93	0,92	0,99	0,96	0,89	0,97	n.s.
Coex1 Hz	23	0,83	0,60	0,91	0,86	0,76	0,93	n.s.
Coex2 Hz	23	0,87	0,66	0,93	0,88	0,81	0,94	n.s.
Coex3 Hz	23	0,89	0,71	0,93	0,90	0,85	0,95	n.s.
Coex4 Hz	23	0,90	0,75	0,94	0,92	0,89	0,95	n.s.
Coex5 Hz	23	0,91	0,76	0,94	0,92	0,90	0,95	n.s.
Coex6 Hz	23	0,90	0,79	0,94	0,91	0,91	0,96	n.s.
Coex7 Hz	23	0,90	0,80	0,93	0,91	0,90	0,96	n.s.
Coex8 Hz	23	0,91	0,82	0,94	0,92	0,90	0,96	n.s.
Coex9 Hz	23	0,93	0,82	0,95	0,93	0,92	0,96	n.s.
Coex10 Hz	23	0,94	0,82	0,96	0,93	0,92	0,96	n.s.

Tab. A 18: Median, Minimum, Maximum und Irrtumswahrscheinlichkeit (p) der respiratorischen Resistance beim Kalb (Absolutwerte)

Parameter	Zeit	Einheit	Gruppe I (Chl-) n = 12			Gruppe II (Chl+) n = 13			W-Test
			Median	Min	Max	Median	Min	Max	
Rin1Hz	1	kPa l ⁻¹ s	0,569	0,373	0,941	0,694	0,495	0,945	n.s.
Rin2Hz	1	kPa l ⁻¹ s	0,532	0,350	0,858	0,639	0,452	0,758	n.s.
Rin3Hz	1	kPa l ⁻¹ s	0,521	0,342	0,844	0,621	0,448	0,702	n.s.
Rin4Hz	1	kPa l ⁻¹ s	0,518	0,340	0,832	0,612	0,463	0,669	n.s.
Rin5Hz	1	kPa l ⁻¹ s	0,523	0,347	0,827	0,614	0,486	0,674	n.s.
Rin6Hz	1	kPa l ⁻¹ s	0,502	0,378	0,800	0,623	0,500	0,698	n.s.
Rin7Hz	1	kPa l ⁻¹ s	0,499	0,395	0,738	0,601	0,492	0,705	n.s.
Rin8Hz	1	kPa l ⁻¹ s	0,483	0,394	0,667	0,546	0,450	0,639	n.s.
Rin9Hz	1	kPa l ⁻¹ s	0,438	0,360	0,626	0,499	0,395	0,598	n.s.
Rin10Hz	1	kPa l ⁻¹ s	0,416	0,337	0,615	0,481	0,373	0,586	n.s.
Rin1Hz	6	kPa l ⁻¹ s	0,321	0,249	0,520	0,319	0,292	0,393	n.s.
Rin2Hz	6	kPa l ⁻¹ s	0,296	0,244	0,425	0,311	0,259	0,366	n.s.
Rin3Hz	6	kPa l ⁻¹ s	0,305	0,246	0,393	0,310	0,248	0,373	n.s.
Rin4Hz	6	kPa l ⁻¹ s	0,311	0,251	0,367	0,341	0,248	0,417	n.s.
Rin5Hz	6	kPa l ⁻¹ s	0,311	0,252	0,375	0,366	0,252	0,479	n.s.
Rin6Hz	6	kPa l ⁻¹ s	0,301	0,244	0,391	0,397	0,261	0,585	< 0,05
Rin7Hz	6	kPa l ⁻¹ s	0,287	0,228	0,355	0,400	0,256	0,577	< 0,05
Rin8Hz	6	kPa l ⁻¹ s	0,256	0,207	0,321	0,385	0,239	0,474	< 0,05
Rin9Hz	6	kPa l ⁻¹ s	0,221	0,189	0,325	0,333	0,221	0,371	< 0,05
Rin10Hz	6	kPa l ⁻¹ s	0,204	0,169	0,327	0,307	0,211	0,336	< 0,05
Rex1Hz	1	kPa l ⁻¹ s	0,652	0,374	1,035	0,631	0,511	0,895	n.s.
Rex2Hz	1	kPa l ⁻¹ s	0,524	0,327	0,765	0,520	0,429	0,717	n.s.
Rex3Hz	1	kPa l ⁻¹ s	0,480	0,307	0,689	0,491	0,404	0,646	n.s.
Rex4Hz	1	kPa l ⁻¹ s	0,441	0,281	0,632	0,487	0,397	0,618	n.s.
Rex5Hz	1	kPa l ⁻¹ s	0,422	0,270	0,610	0,497	0,407	0,612	n.s.
Rex6Hz	1	kPa l ⁻¹ s	0,398	0,260	0,579	0,502	0,410	0,615	n.s.
Rex7Hz	1	kPa l ⁻¹ s	0,386	0,255	0,558	0,482	0,414	0,606	< 0,05
Rex8Hz	1	kPa l ⁻¹ s	0,369	0,251	0,528	0,456	0,385	0,557	< 0,05
Rex9Hz	1	kPa l ⁻¹ s	0,357	0,251	0,524	0,442	0,363	0,522	< 0,05
Rex10Hz	1	kPa l ⁻¹ s	0,356	0,253	0,524	0,439	0,353	0,506	< 0,05
Rex1Hz	6	kPa l ⁻¹ s	0,289	0,222	0,377	0,317	0,258	0,455	n.s.
Rex2Hz	6	kPa l ⁻¹ s	0,268	0,203	0,335	0,286	0,224	0,367	n.s.
Rex3Hz	6	kPa l ⁻¹ s	0,245	0,191	0,311	0,276	0,215	0,339	n.s.
Rex4Hz	6	kPa l ⁻¹ s	0,227	0,178	0,281	0,270	0,210	0,312	< 0,05
Rex5Hz	6	kPa l ⁻¹ s	0,216	0,168	0,264	0,272	0,209	0,314	< 0,05
Rex6Hz	6	kPa l ⁻¹ s	0,205	0,158	0,257	0,277	0,209	0,323	< 0,05
Rex7Hz	6	kPa l ⁻¹ s	0,201	0,154	0,255	0,278	0,208	0,328	< 0,05
Rex8Hz	6	kPa l ⁻¹ s	0,201	0,155	0,257	0,275	0,203	0,323	< 0,05
Rex9Hz	6	kPa l ⁻¹ s	0,209	0,164	0,265	0,271	0,198	0,310	< 0,05
Rex10Hz	6	kPa l ⁻¹ s	0,214	0,172	0,270	0,269	0,196	0,306	< 0,05

Tab. A 19: Median, Minimum, Maximum und Irrtumswahrscheinlichkeit (p) der respiratorischen Reactance beim Kalb (Absolutwerte)

Parameter	Zeit	Einheit	Gruppe I (Chl-) n = 12			Gruppe II (Chl+) n = 13			W-Test
			Median	Min	Max	Median	Min	Max	
Xin1Hz	1	kPa l ⁻¹ s	-0,003	-0,057	0,018	-0,013	-0,099	0,017	n.s.
Xin2Hz	1	kPa l ⁻¹ s	-0,0045	-0,086	0,028	-0,005	-0,101	0,052	n.s.
Xin3Hz	1	kPa l ⁻¹ s	-0,007	-0,099	0,033	0,002	-0,103	0,071	n.s.
Xin4Hz	1	kPa l ⁻¹ s	-0,015	-0,114	0,038	0,020	-0,113	0,088	n.s.
Xin5Hz	1	kPa l ⁻¹ s	-0,022	-0,155	0,041	0,008	-0,128	0,084	n.s.
Xin6Hz	1	kPa l ⁻¹ s	-0,046	-0,243	0,043	-0,026	-0,149	0,071	n.s.
Xin7Hz	1	kPa l ⁻¹ s	-0,057	-0,285	0,038	-0,052	-0,181	0,033	n.s.
Xin8Hz	1	kPa l ⁻¹ s	-0,071	-0,272	0,017	-0,090	-0,197	-0,012	n.s.
Xin9Hz	1	kPa l ⁻¹ s	-0,091	-0,210	0,000	-0,083	-0,202	-0,026	n.s.
Xin10Hz	1	kPa l ⁻¹ s	-0,095	-0,176	-0,004	-0,069	-0,202	-0,023	n.s.
Xin1Hz	6	kPa l ⁻¹ s	0,026	-0,007	0,050	0,042	0,016	0,058	< 0,05
Xin2Hz	6	kPa l ⁻¹ s	0,027	-0,013	0,066	0,070	0,030	0,103	< 0,05
Xin3Hz	6	kPa l ⁻¹ s	0,022	-0,015	0,064	0,084	0,034	0,124	< 0,05
Xin4Hz	6	kPa l ⁻¹ s	0,012	-0,012	0,044	0,094	0,038	0,144	< 0,05
Xin5Hz	6	kPa l ⁻¹ s	0,001	-0,016	0,018	0,088	0,037	0,148	< 0,05
Xin6Hz	6	kPa l ⁻¹ s	-0,007	-0,055	0,011	0,061	0,013	0,109	< 0,05
Xin7Hz	6	kPa l ⁻¹ s	-0,009	-0,083	0,018	0,025	-0,042	0,071	< 0,05
Xin8Hz	6	kPa l ⁻¹ s	0,001	-0,079	0,035	-0,017	-0,129	0,050	n.s.
Xin9Hz	6	kPa l ⁻¹ s	0,011	-0,044	0,046	-0,010	-0,126	0,036	n.s.
Xin10Hz	6	kPa l ⁻¹ s	0,022	-0,031	0,050	0,000	-0,103	0,039	< 0,05
Xex1Hz	1	kPa l ⁻¹ s	-0,080	-0,202	-0,016	-0,027	-0,141	-0,016	< 0,05
Xex2Hz	1	kPa l ⁻¹ s	-0,093	-0,227	-0,022	-0,024	-0,195	-0,012	< 0,05
Xex3Hz	1	kPa l ⁻¹ s	-0,102	-0,239	-0,018	-0,021	-0,200	0,000	< 0,05
Xex4Hz	1	kPa l ⁻¹ s	-0,082	-0,213	-0,006	-0,019	-0,196	0,014	< 0,05
Xex5Hz	1	kPa l ⁻¹ s	-0,080	-0,213	0,004	-0,021	-0,189	0,024	< 0,05
Xex6Hz	1	kPa l ⁻¹ s	-0,077	-0,222	0,020	-0,031	-0,171	0,022	n.s.
Xex7Hz	1	kPa l ⁻¹ s	-0,074	-0,220	0,030	-0,042	-0,158	0,018	n.s.
Xex8Hz	1	kPa l ⁻¹ s	-0,063	-0,208	0,044	-0,043	-0,140	0,014	n.s.
Xex9Hz	1	kPa l ⁻¹ s	-0,052	-0,192	0,055	-0,036	-0,137	0,023	n.s.
Xex10Hz	1	kPa l ⁻¹ s	-0,046	-0,179	0,060	-0,032	-0,133	0,034	n.s.
Xex1Hz	6	kPa l ⁻¹ s	0,010	0,002	0,028	0,006	-0,008	0,014	< 0,05
Xex2Hz	6	kPa l ⁻¹ s	0,010	-0,010	0,027	0,013	-0,009	0,025	< 0,05
Xex3Hz	6	kPa l ⁻¹ s	0,012	-0,017	0,026	0,020	-0,007	0,033	< 0,05
Xex4Hz	6	kPa l ⁻¹ s	0,015	-0,023	0,026	0,026	-0,002	0,045	< 0,05
Xex5Hz	6	kPa l ⁻¹ s	0,021	-0,023	0,030	0,030	0,002	0,053	< 0,05
Xex6Hz	6	kPa l ⁻¹ s	0,033	-0,017	0,047	0,036	0,010	0,066	n.s.
Xex7Hz	6	kPa l ⁻¹ s	0,043	-0,008	0,059	0,042	0,009	0,077	n.s.
Xex8Hz	6	kPa l ⁻¹ s	0,060	0,010	0,076	0,047	0,004	0,087	n.s.
Xex9Hz	6	kPa l ⁻¹ s	0,074	0,023	0,088	0,050	0,001	0,096	n.s.
Xex10Hz	6	kPa l ⁻¹ s	0,081	0,025	0,094	0,056	0,003	0,102	n.s.

Tab. A 20: Median, Minimum, Maximum und Irrtumswahrscheinlichkeit (p) der respiratorischen Resistance beim Kalb (pro kg Körpermasse)

Parameter	Zeit	Einheit	Gruppe I (Chl-) n = 12			Gruppe II (Chl+) n = 13			W-Test
			Median	Min	Max	Median	Min	Max	
Rin1Hz	1	kPa l ⁻¹ s	10,086	5,653	15,679	13,710	10,665	21,924	< 0,05
Rin2Hz	1	kPa l ⁻¹ s	9,357	5,303	14,974	12,424	9,460	17,068	< 0,05
Rin3Hz	1	kPa l ⁻¹ s	9,122	5,185	14,729	11,892	9,367	15,869	< 0,05
Rin4Hz	1	kPa l ⁻¹ s	8,943	5,162	14,517	12,436	9,582	15,565	< 0,05
Rin5Hz	1	kPa l ⁻¹ s	8,872	5,271	14,426	13,004	9,871	16,304	< 0,05
Rin6Hz	1	kPa l ⁻¹ s	8,909	5,736	13,965	13,144	9,816	17,667	< 0,05
Rin7Hz	1	kPa l ⁻¹ s	8,836	5,999	12,743	12,612	9,327	17,840	< 0,05
Rin8Hz	1	kPa l ⁻¹ s	8,299	6,070	10,698	11,505	8,051	16,186	< 0,05
Rin9Hz	1	kPa l ⁻¹ s	7,479	5,465	9,954	10,696	7,044	15,135	< 0,05
Rin10Hz	1	kPa l ⁻¹ s	7,112	5,116	9,769	10,284	6,517	14,835	< 0,05
Rin1Hz	6	kPa l ⁻¹ s	2,108	1,601	3,574	2,486	1,941	2,946	n.s.
Rin2Hz	6	kPa l ⁻¹ s	1,996	1,572	2,918	2,331	1,639	2,746	n.s.
Rin3Hz	6	kPa l ⁻¹ s	2,030	1,583	2,698	2,346	1,573	2,794	n.s.
Rin4Hz	6	kPa l ⁻¹ s	2,069	1,614	2,518	2,438	1,569	3,126	< 0,05
Rin5Hz	6	kPa l ⁻¹ s	2,098	1,626	2,685	2,629	1,599	3,592	< 0,05
Rin6Hz	6	kPa l ⁻¹ s	2,041	1,560	2,819	2,978	1,651	4,388	< 0,05
Rin7Hz	6	kPa l ⁻¹ s	1,911	1,459	2,512	2,960	1,624	4,324	< 0,05
Rin8Hz	6	kPa l ⁻¹ s	1,670	1,325	2,206	2,806	1,517	3,641	< 0,05
Rin9Hz	6	kPa l ⁻¹ s	1,439	1,246	2,232	2,452	1,398	3,031	< 0,05
Rin10Hz	6	kPa l ⁻¹ s	1,337	1,154	2,248	2,307	1,336	2,618	< 0,05
Rex1Hz	1	kPa l ⁻¹ s	10,473	5,673	18,056	13,064	9,653	19,538	n.s.
Rex2Hz	1	kPa l ⁻¹ s	8,738	4,967	13,347	11,232	8,306	15,659	< 0,05
Rex3Hz	1	kPa l ⁻¹ s	8,007	4,661	12,031	10,801	7,918	14,098	< 0,05
Rex4Hz	1	kPa l ⁻¹ s	7,372	4,383	11,023	10,482	7,820	12,584	< 0,05
Rex5Hz	1	kPa l ⁻¹ s	7,118	4,292	10,639	10,427	8,003	12,591	< 0,05
Rex6Hz	1	kPa l ⁻¹ s	6,852	4,218	10,108	10,191	8,459	13,093	< 0,05
Rex7Hz	1	kPa l ⁻¹ s	6,880	4,142	9,735	10,241	7,793	13,397	< 0,05
Rex8Hz	1	kPa l ⁻¹ s	6,515	4,080	9,126	9,665	7,092	12,544	< 0,05
Rex9Hz	1	kPa l ⁻¹ s	6,393	4,077	9,066	9,157	6,605	11,924	< 0,05
Rex10Hz	1	kPa l ⁻¹ s	6,379	4,104	9,069	8,915	6,374	11,814	< 0,05
Rex1Hz	6	kPa l ⁻¹ s	1,995	1,498	2,489	2,428	1,662	3,519	< 0,05
Rex2Hz	6	kPa l ⁻¹ s	1,724	1,353	2,209	2,147	1,445	2,837	< 0,05
Rex3Hz	6	kPa l ⁻¹ s	1,591	1,256	2,052	2,047	1,384	2,620	< 0,05
Rex4Hz	6	kPa l ⁻¹ s	1,493	1,137	1,962	1,946	1,352	2,414	< 0,05
Rex5Hz	6	kPa l ⁻¹ s	1,426	1,076	1,927	1,946	1,332	2,357	< 0,05
Rex6Hz	6	kPa l ⁻¹ s	1,355	1,009	1,888	1,987	1,324	2,423	< 0,05
Rex7Hz	6	kPa l ⁻¹ s	1,328	0,987	1,873	2,020	1,316	2,460	< 0,05
Rex8Hz	6	kPa l ⁻¹ s	1,323	0,992	1,884	2,030	1,285	2,420	< 0,05
Rex9Hz	6	kPa l ⁻¹ s	1,373	1,050	1,948	2,081	1,254	2,320	< 0,05
Rex10Hz	6	kPa l ⁻¹ s	1,408	1,099	1,981	2,055	1,239	2,294	< 0,05

Tab. A 21: Median, Minimum, Maximum und Irrtumswahrscheinlichkeit (p) der respiratorischen Reactance beim Kalb (pro kg Körpermasse)

Parameter	Zeit	Einheit	Gruppe I (Chl-) n = 12			Gruppe II (Chl+) n = 13			W-Test
			Median	Min	Max	Median	Min	Max	
Xin1Hz	1	kPa l ⁻¹ s	-0,039	-0,844	0,278	-0,221	-2,106	0,367	n.s.
Xin2Hz	1	kPa l ⁻¹ s	-0,069	-1,278	0,430	-0,078	-2,205	1,208	n.s.
Xin3Hz	1	kPa l ⁻¹ s	-0,108	-1,471	0,498	0,055	-2,253	1,672	n.s.
Xin4Hz	1	kPa l ⁻¹ s	-0,220	-1,927	0,577	0,467	-2,475	2,056	n.s.
Xin5Hz	1	kPa l ⁻¹ s	-0,358	-2,712	0,625	0,195	-2,784	1,967	n.s.
Xin6Hz	1	kPa l ⁻¹ s	-0,734	-4,237	0,655	-0,614	-3,242	1,578	n.s.
Xin7Hz	1	kPa l ⁻¹ s	-0,955	-4,981	0,572	-1,252	-3,835	0,724	n.s.
Xin8Hz	1	kPa l ⁻¹ s	-1,153	-4,750	0,255	-1,839	-4,165	-0,271	n.s.
Xin9Hz	1	kPa l ⁻¹ s	-1,526	-3,665	-0,003	-1,722	-4,109	-0,579	n.s.
Xin10Hz	1	kPa l ⁻¹ s	-1,527	-3,068	-0,053	-1,433	-4,096	-0,527	n.s.
Xin1Hz	6	kPa l ⁻¹ s	0,165	-0,050	0,357	0,313	0,102	0,450	< 0,05
Xin2Hz	6	kPa l ⁻¹ s	0,171	-0,090	0,474	0,516	0,187	0,799	< 0,05
Xin3Hz	6	kPa l ⁻¹ s	0,140	-0,105	0,463	0,631	0,218	0,949	< 0,05
Xin4Hz	6	kPa l ⁻¹ s	0,076	-0,080	0,313	0,702	0,238	1,115	< 0,05
Xin5Hz	6	kPa l ⁻¹ s	0,006	-0,099	0,115	0,663	0,231	1,143	< 0,05
Xin6Hz	6	kPa l ⁻¹ s	-0,045	-0,369	0,067	0,454	0,091	0,773	< 0,05
Xin7Hz	6	kPa l ⁻¹ s	-0,058	-0,586	0,121	0,156	-0,317	0,499	< 0,05
Xin8Hz	6	kPa l ⁻¹ s	0,004	-0,536	0,242	-0,122	-0,968	0,325	n.s.
Xin9Hz	6	kPa l ⁻¹ s	0,066	-0,319	0,316	-0,071	-0,946	0,229	n.s.
Xin10Hz	6	kPa l ⁻¹ s	0,141	-0,201	0,340	0,001	-0,773	0,244	n.s.
Xex1Hz	1	kPa l ⁻¹ s	-1,239	-2,994	-0,240	-0,667	-3,068	-0,341	< 0,05
Xex2Hz	1	kPa l ⁻¹ s	-1,482	-3,368	-0,326	-0,473	-4,250	-0,300	< 0,05
Xex3Hz	1	kPa l ⁻¹ s	-1,621	-3,912	-0,271	-0,367	-4,367	0,000	< 0,05
Xex4Hz	1	kPa l ⁻¹ s	-1,320	-3,170	-0,091	-0,344	-4,272	0,328	< 0,05
Xex5Hz	1	kPa l ⁻¹ s	-1,258	-3,170	0,056	-0,444	-4,116	0,553	< 0,05
Xex6Hz	1	kPa l ⁻¹ s	-1,189	-3,294	0,296	-0,656	-3,741	0,525	n.s.
Xex7Hz	1	kPa l ⁻¹ s	-1,164	-3,274	0,458	-0,896	-3,439	0,412	n.s.
Xex8Hz	1	kPa l ⁻¹ s	-1,007	-3,093	0,668	-1,033	-2,966	0,323	n.s.
Xex9Hz	1	kPa l ⁻¹ s	-0,838	-2,850	0,837	-0,911	-2,785	0,548	n.s.
Xex10Hz	1	kPa l ⁻¹ s	-0,736	-2,736	0,908	-0,759	-2,710	0,792	n.s.
Xex1Hz	6	kPa l ⁻¹ s	0,062	0,013	0,189	0,039	-0,063	0,087	n.s.
Xex2Hz	6	kPa l ⁻¹ s	0,066	-0,063	0,187	0,095	-0,067	0,162	n.s.
Xex3Hz	6	kPa l ⁻¹ s	0,071	-0,109	0,175	0,149	-0,055	0,223	< 0,05
Xex4Hz	6	kPa l ⁻¹ s	0,097	-0,150	0,176	0,196	-0,015	0,308	< 0,05
Xex5Hz	6	kPa l ⁻¹ s	0,137	-0,150	0,204	0,227	0,018	0,360	< 0,05
Xex6Hz	6	kPa l ⁻¹ s	0,222	-0,110	0,313	0,258	0,076	0,494	< 0,05
Xex7Hz	6	kPa l ⁻¹ s	0,288	-0,051	0,399	0,295	0,072	0,578	n.s.
Xex8Hz	6	kPa l ⁻¹ s	0,405	0,068	0,511	0,334	0,029	0,651	n.s.
Xex9Hz	6	kPa l ⁻¹ s	0,498	0,148	0,594	0,349	0,005	0,723	n.s.
Xex10Hz	6	kPa l ⁻¹ s	0,546	0,161	0,635	0,354	0,024	0,765	n.s.

Tab. A 22: Median, Minimum, Maximum und Irrtumswahrscheinlichkeit (p) der Kohärenz beim Kalb

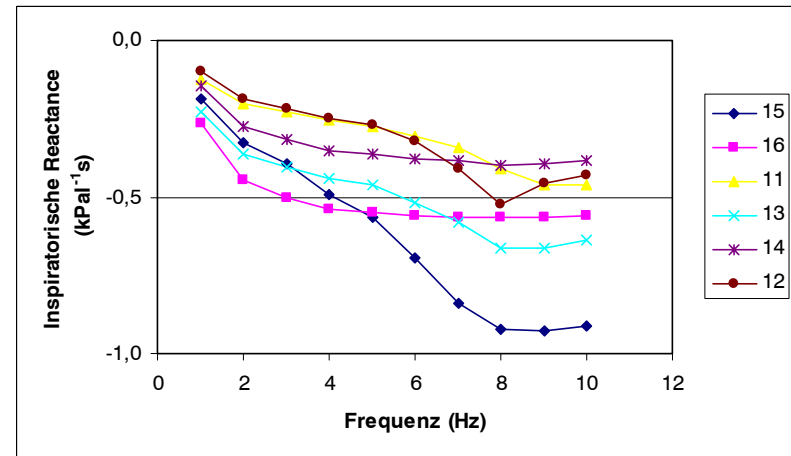
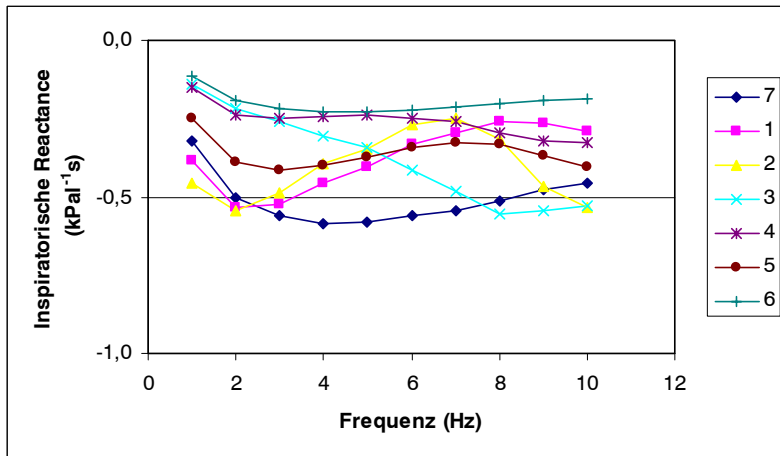
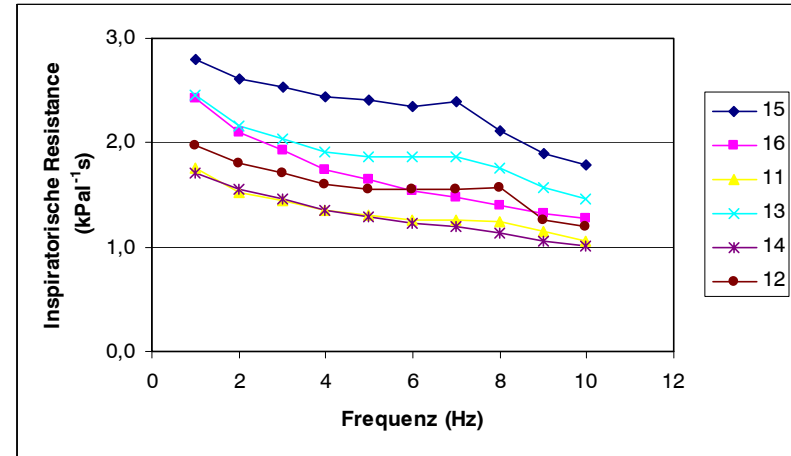
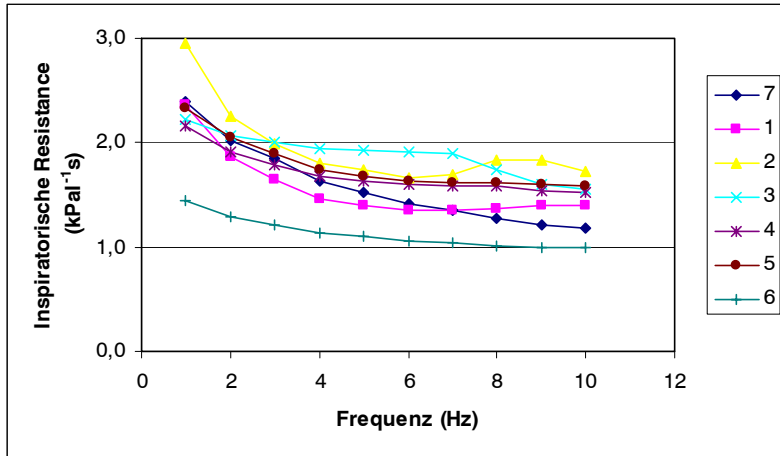
Parameter	Zeit	Gruppe I (Chl-) n = 12			Gruppe II (Chl+) n = 13			W-Test
		Median	Min	Max	Median	Min	Max	
Coin1 Hz	1	0,80	0,66	0,86	0,57	0,40	0,63	< 0,05
Coin2 Hz	1	0,84	0,71	0,88	0,68	0,53	0,74	< 0,05
Coin3 Hz	1	0,85	0,75	0,91	0,76	0,62	0,82	< 0,05
Coin4 Hz	1	0,89	0,80	0,94	0,83	0,71	0,92	< 0,05
Coin5 Hz	1	0,91	0,81	0,96	0,84	0,73	0,95	< 0,05
Coin6 Hz	1	0,91	0,82	0,97	0,87	0,75	0,96	< 0,05
Coin7 Hz	1	0,92	0,85	0,97	0,90	0,78	0,96	n.s.
Coin8 Hz	1	0,93	0,89	0,97	0,94	0,86	0,98	n.s.
Coin9 Hz	1	0,95	0,90	0,98	0,96	0,92	0,99	n.s.
Coin10 Hz	1	0,95	0,91	0,99	0,96	0,93	0,99	n.s.
Coin1 Hz	6	0,68	0,50	0,84	0,58	0,52	0,74	n.s.
Coin2 Hz	6	0,75	0,63	0,90	0,71	0,66	0,81	n.s.
Coin3 Hz	6	0,79	0,70	0,92	0,80	0,74	0,86	n.s.
Coin4 Hz	6	0,83	0,75	0,95	0,86	0,80	0,89	n.s.
Coin5 Hz	6	0,84	0,76	0,95	0,87	0,80	0,91	n.s.
Coin6 Hz	6	0,85	0,74	0,95	0,87	0,79	0,93	n.s.
Coin7 Hz	6	0,86	0,76	0,95	0,87	0,80	0,93	n.s.
Coin8 Hz	6	0,88	0,81	0,96	0,90	0,85	0,94	n.s.
Coin9 Hz	6	0,91	0,87	0,98	0,93	0,89	0,97	n.s.
Coin10 Hz	6	0,93	0,89	0,98	0,94	0,90	0,98	n.s.
Coex1 Hz	1	0,74	0,63	0,80	0,62	0,52	0,75	< 0,05
Coex2 Hz	1	0,82	0,75	0,88	0,73	0,67	0,84	< 0,05
Coex3 Hz	1	0,86	0,81	0,92	0,81	0,75	0,90	< 0,05
Coex4 Hz	1	0,91	0,87	0,96	0,89	0,83	0,95	n.s.
Coex5 Hz	1	0,92	0,89	0,97	0,92	0,86	0,97	n.s.
Coex6 Hz	1	0,93	0,88	0,97	0,92	0,88	0,96	n.s.
Coex7 Hz	1	0,93	0,89	0,98	0,93	0,90	0,96	n.s.
Coex8 Hz	1	0,94	0,90	0,98	0,95	0,92	0,98	n.s.
Coex9 Hz	1	0,96	0,92	0,99	0,97	0,94	0,99	n.s.
Coex10 Hz	1	0,97	0,92	0,99	0,97	0,94	0,99	n.s.
Coex1 Hz	6	0,59	0,46	0,77	0,71	0,62	0,81	< 0,05
Coex2 Hz	6	0,66	0,54	0,83	0,81	0,74	0,87	< 0,05
Coex3 Hz	6	0,72	0,60	0,88	0,86	0,83	0,90	< 0,05
Coex4 Hz	6	0,80	0,70	0,92	0,92	0,90	0,93	< 0,05
Coex5 Hz	6	0,85	0,76	0,94	0,93	0,91	0,95	< 0,05
Coex6 Hz	6	0,87	0,82	0,95	0,94	0,91	0,97	< 0,05
Coex7 Hz	6	0,90	0,83	0,95	0,94	0,92	0,96	< 0,05
Coex8 Hz	6	0,93	0,87	0,96	0,96	0,94	0,97	< 0,05
Coex9 Hz	6	0,95	0,91	0,97	0,97	0,95	0,99	< 0,05
Coex10 Hz	6	0,96	0,92	0,98	0,98	0,96	0,99	< 0,05

Tab. A 23: Pathologisch-Morphologischer Score der 25 untersuchten Kälber

	lfd. Tier Nr. (Tier Nr. FLI)	score
Gruppe I (ChI-)	1 (0001)	0 (keine Veränderung)
	2 (0002)	0 (keine Veränderung)
	3 (0003)	1 (geringgradig)
	4 (0004)	0 (keine Veränderung)
	5 (0005)	1 (geringgradig)
	6 (0006)	2 (mittelgradig)
	7 (0007)	1 (geringgradig)
	8 (0008)	1 (geringgradig)
	9 (0009)	1 (geringgradig)
	10 (0010)	2 (mittelgradig)
	11 (0011)	1 (geringgradig)
	12 (0012)	1 (geringgradig)
Gruppe II (ChI+)	13 (0464)	1 (geringgradig)
	14 (0465)	2-3 (mittel-hochgradig)
	15 (0466)	0 (keine Veränderung)
	16 (0467)	1 (geringgradig)
	17 (0468)	1 (geringgradig)
	18 (0469)	3 (hochgradig)
	19 (0470)	1 (geringgradig)
	20 (0471)	3 (hochgradig)
	21 (0473)	2 (mittelgradig)
	22 (0474)	1 (geringgradig)
	23 (0475)	1 (geringgradig)
	24 (0476)	0 (keine Veränderung)
	25 (0477)	1 (geringgradig)

Tab. A 24: Differenzialdiagnostisch nachgewiesene Erreger bei 25 Kälbern zum Zeitpunkt der Sektion und serologisch während des Versuchs

	Ifd. Tier Nr. (Tier Nr. FLI)	Erregernachweis in Gewebeproben (Sektion)		Serologie
		<i>Pasteurella</i> spp.	<i>Mycoplasma</i> spp.	
Gr. I (Chl-)	1 (0001)	negativ	<i>M. bovis</i> : Tonsille	CoronavirusAK↑
	2 (0002)	<i>P. multocida</i> : Lunge, Tonsille	<i>M. bovirhinis</i> : Lunge	negativ
	3 (0003)	<i>P. multocida</i> : Lunge	negativ	CoronavirusAK↑
	4 (0004)	negativ	<i>M. bovis</i> : Tonsille <i>M. bovirhinis</i> : Trachea	negativ
	5 (0005)	<i>P. multocida</i> : Lunge	negativ	negativ
	6 (0006)	verunreinigt	<i>M. bovirhinis</i> : Trachea	CoronavirusAK↑
	7 (0007)	<i>P. multocida</i> : Trachea	negativ	negativ
	8 (0008)	<i>P. multocida</i> : Tonsille	<i>M. bovirhinis</i> : Lunge	negativ
	9 (0009)	negativ	<i>M. bovirhinis</i> : Tonsille	CoronavirusAK↑
	10 (0010)	negativ	<i>M. bovirhinis</i> : Tonsille, Lunge <i>M. bovis</i> : Tonsille	negativ
	11 (0011)	negativ	<i>M. bovirhinis</i> , <i>M. bovis</i> : Tonsille	negativ
	12 (0012)	<i>P. multocida</i> : Tonsille	negativ	negativ
Gr. II (Chl+)	13 (0464)	<i>P. multocida</i> : Tonsille	<i>M. bovirhinis</i> : Tonsille, Lungenlymphknoten	negativ
	14 (0465)	<i>P. multocida</i> : Lungenlymphknoten	<i>M. bovirhinis</i> : Lunge	Adenovirus 3 AK↑
	15 (0466)	<i>P. multocida</i> : Tonsille	<i>M. bovirhinis</i> : Lunge	Adenovirus 3 AK↑
	16 (0467)	negativ	negativ	Adenovirus 3 AK↑
	17 (0468)	negativ	negativ	Adenovirus 3 AK↑
	18 (0469)	<i>P. multocida</i> : Tonsille	negativ	Adenovirus 3 AK↑
	19 (0470)	<i>P. multocida</i> : Trachea, Tonsille, Lunge	negativ	Adenovirus 3 AK↑
	20 (0471)	negativ	<i>M. bovirhinis</i> : Lunge	negativ
	21 (0473)	negativ	<i>M. bovirhinis</i> : Tonsille	Adenovirus 3 AK↑ BHV 1-Virus AK↑ PI 3-Virus AK↑
	22 (0474)	<i>P. multocida</i> : Tonsille	negativ	Adenovirus 3 AK↑
	23 (0475)	<i>P. multocida</i> : Tonsille	negativ	negativ
	24 (0476)	negativ	negativ	BVD-Virus AK↑
	25 (0477)	<i>P. multocida</i> : Tonsille, Lungenlymphknoten	negativ	Adenovirus 3 AK↑ BVD-Virus AK↑



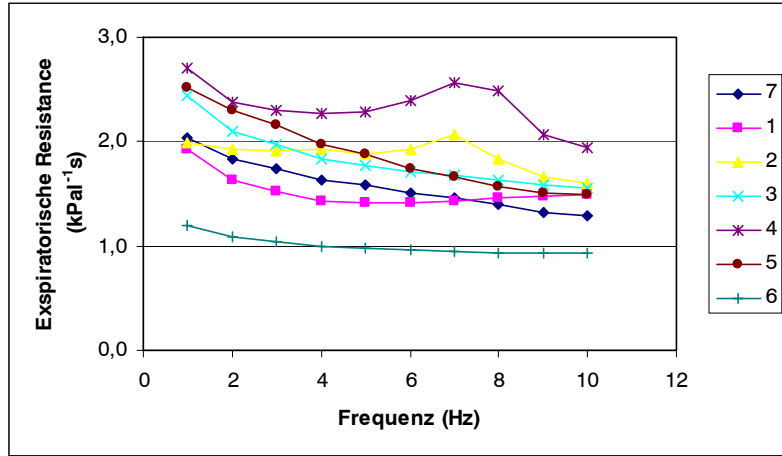


Abb. A 5: Einzelverlauf der Resistance während der Expiration bei den Schweinen der Gruppe I zu Studienbeginn

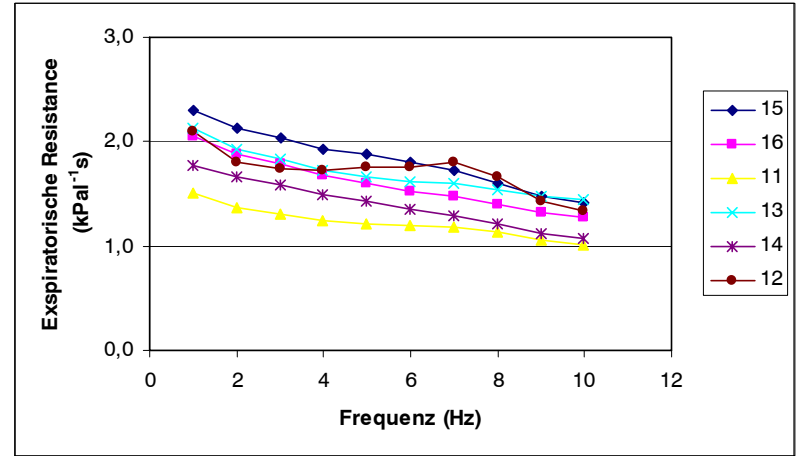


Abb. A 7: Einzelverlauf der Resistance während der Expiration bei den Schweinen der Gruppe III zu Studienbeginn

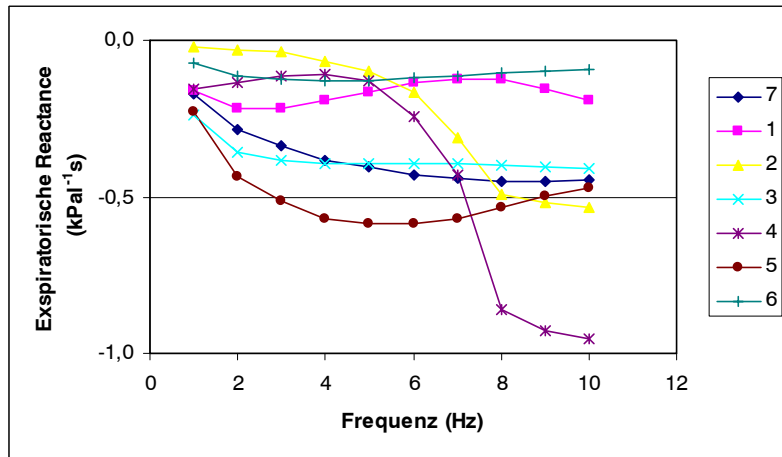


Abb. A 6: Einzelverlauf der Reactance während der Expiration bei den Schweinen der Gruppe I zu Studienbeginn

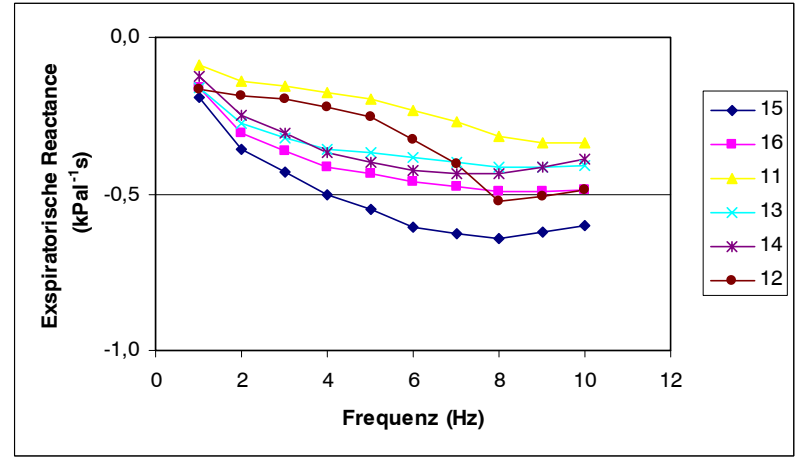


Abb. A 8: Einzelverlauf der Reactance während der Expiration bei den Schweinen der Gruppe III zu Studienbeginn

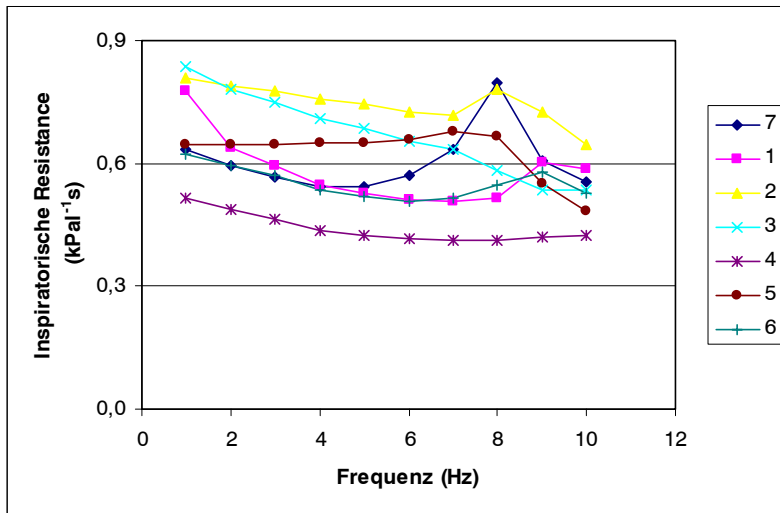


Abb. A 9: Einzelverlauf der Resistance während der Inspiration bei den Schweinen der Gruppe I zu Studienende

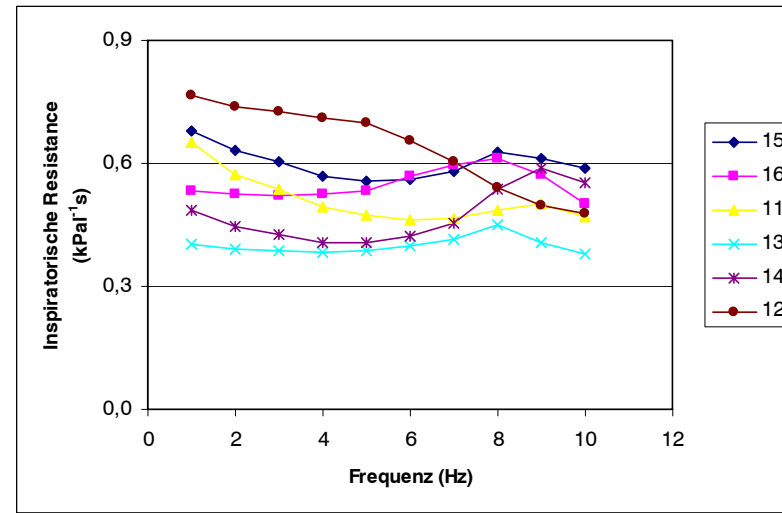


Abb. A 11: Einzelverlauf der Resistance während der Inspiration bei den Schweinen der Gruppe III zu Studienende

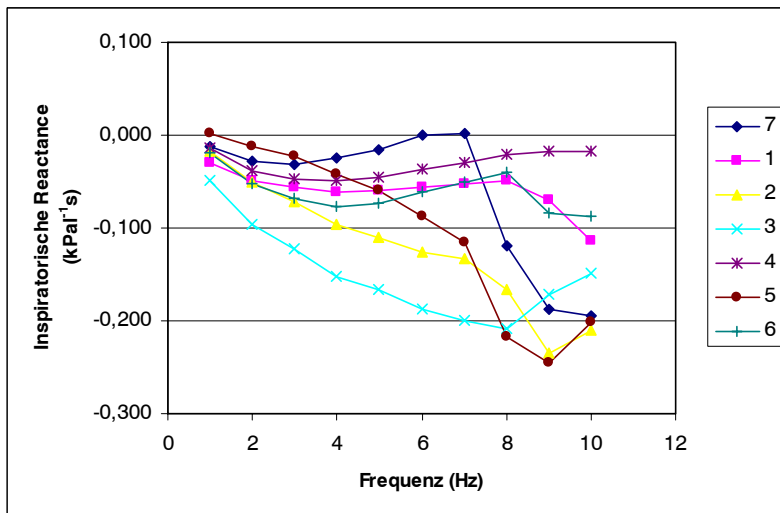


Abb. A 10: Einzelverlauf der Reactance während der Inspiration bei den Schweinen der Gruppe I zu Studienende

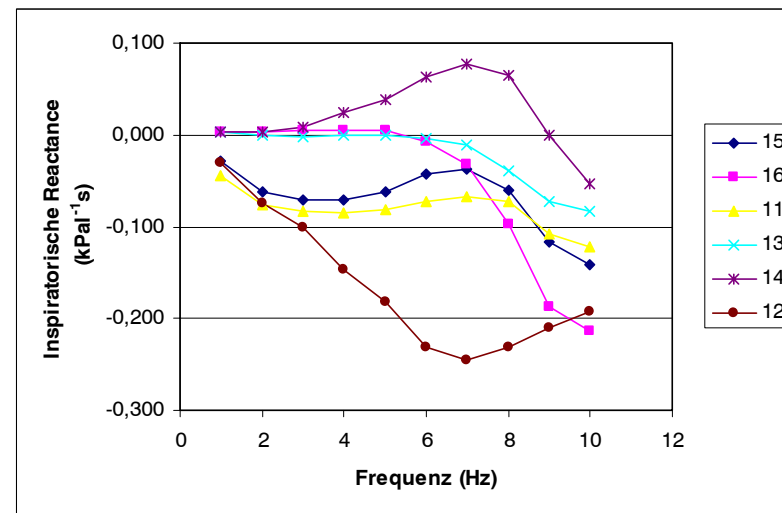


Abb. A 12: Einzelverlauf der Reactance während der Inspiration bei den Schweinen der Gruppe III zu Studienende

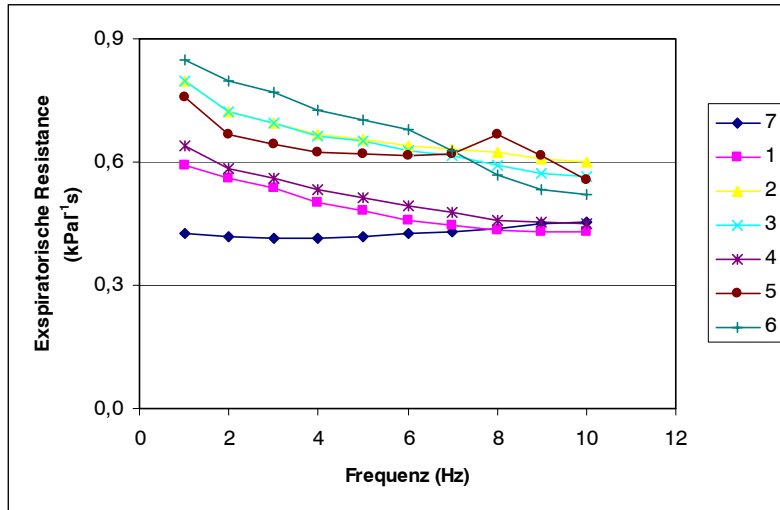


Abb. A 13: Einzelverlauf der Resistance während der Expiration bei den Schweinen der Gruppe I zu Studienende

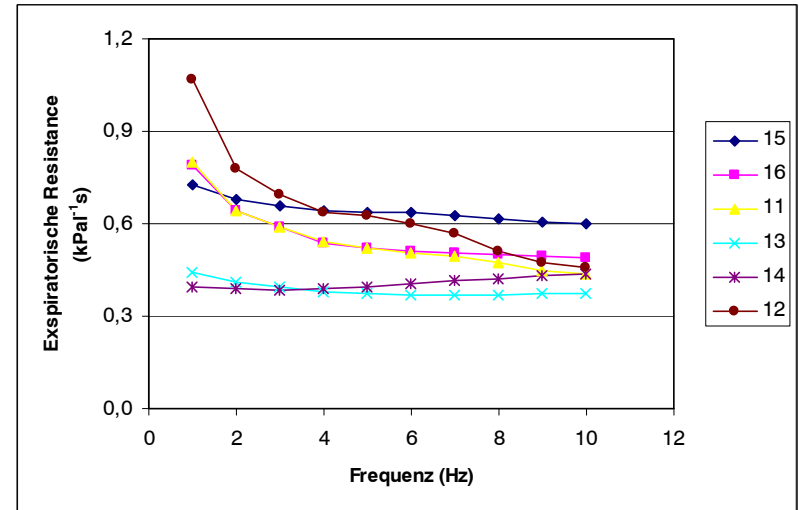


Abb. A 15: Einzelverlauf der Resistance während der Expiration bei den Schweinen der Gruppe III zu Studienende

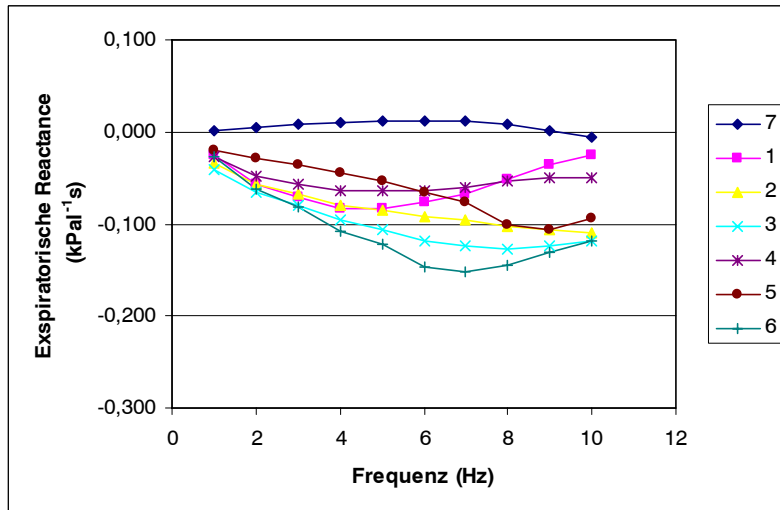


Abb. A 14: Einzelverlauf der Reactance während der Expiration bei den Schweinen der Gruppe I zu Studienende

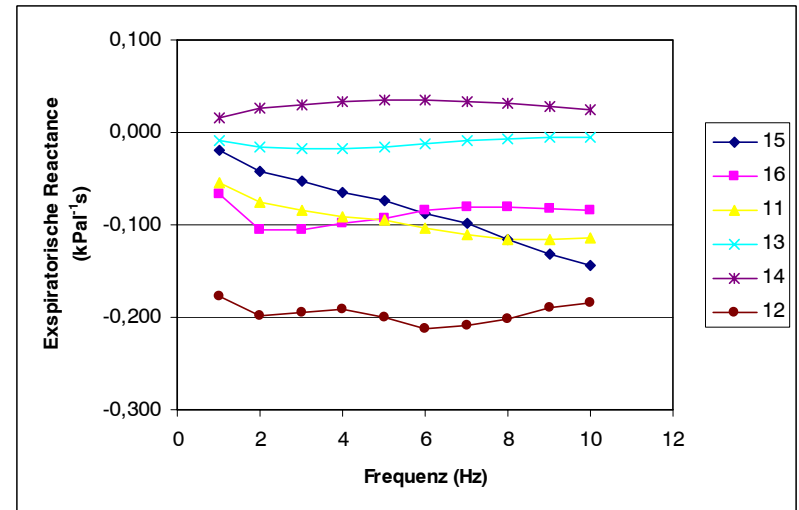


Abb. A 16: Einzelverlauf der Reactance während der Expiration bei den Schweinen der Gruppe III zu Studienende

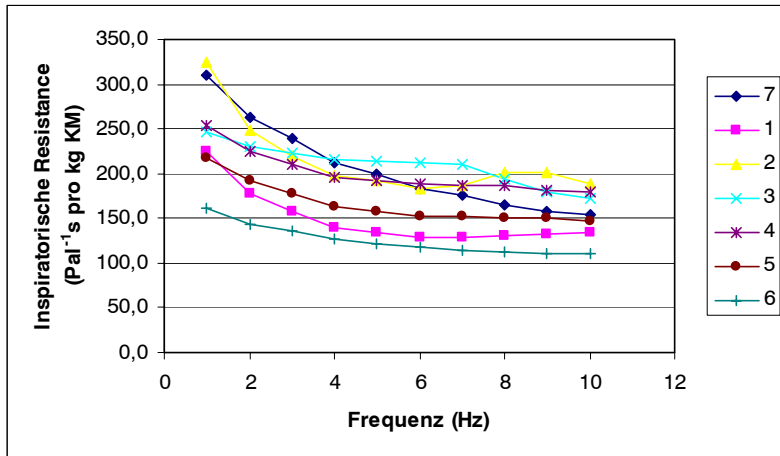


Abb. A 17: Einzelverlauf der Resistance während der Inspiration bei den Schweinen der Gruppe I zu Studienbeginn (pro kg Körpermasse)

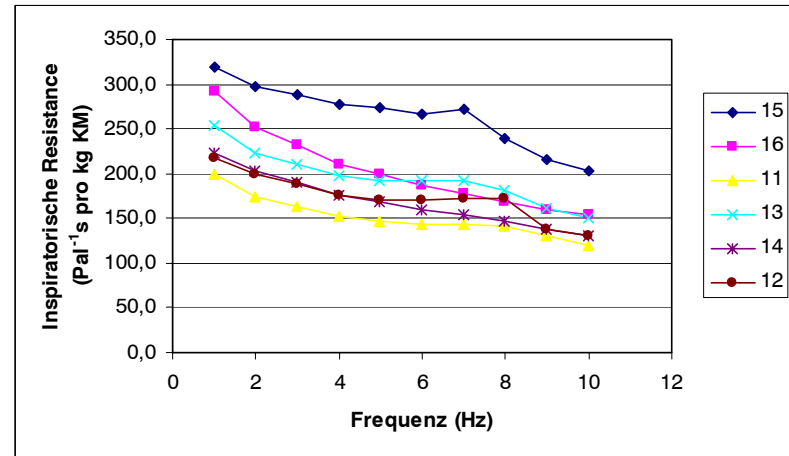


Abb. A 19: Einzelverlauf der Resistance während der Inspiration bei den Schweinen der Gruppe III zu Studienbeginn (pro kg Körpermasse)

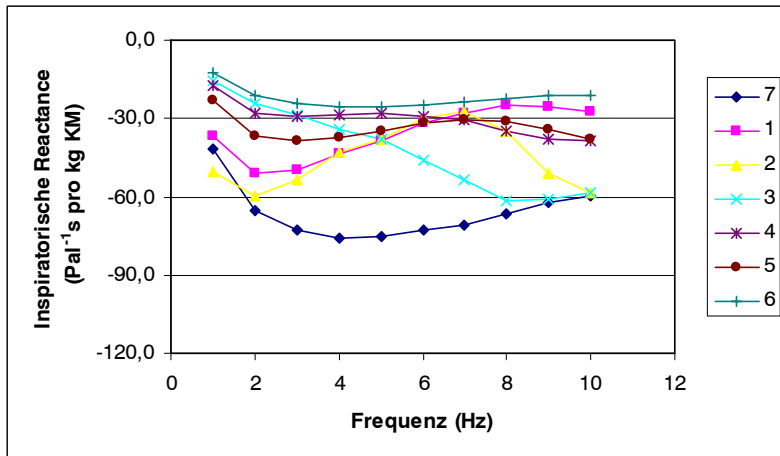


Abb. A 18: Einzelverlauf der Reactance während der Inspiration bei den Schweinen der Gruppe I zu Studienbeginn (pro kg Körpermasse)

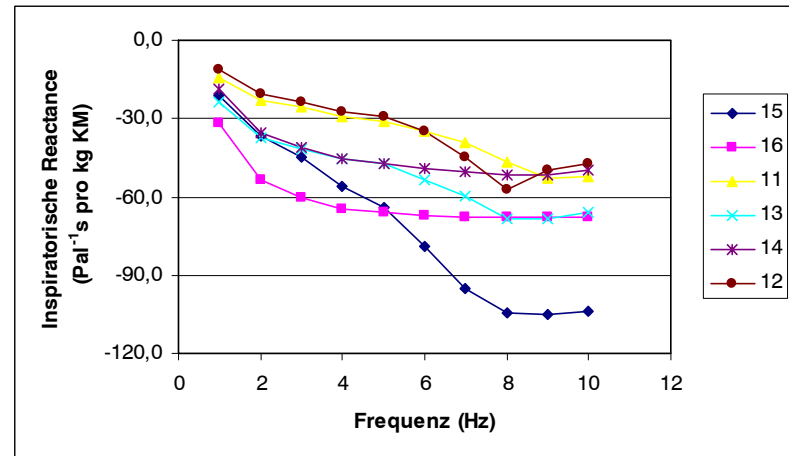


Abb. A 20: Einzelverlauf der Reactance während der Inspiration bei den Schweinen der Gruppe III zu Studienbeginn (pro kg Körpermasse)

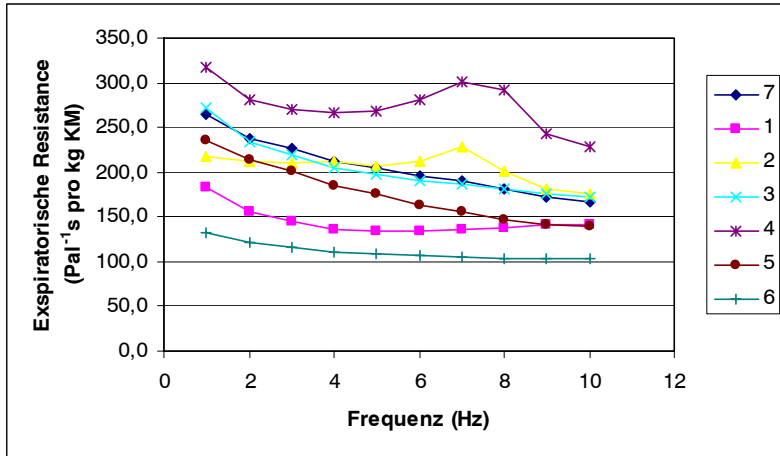


Abb. A 21: Einzelverlauf der Resistance während der Expiration bei den Schweinen der Gruppe I zu Studienbeginn (pro kg Körpermasse)

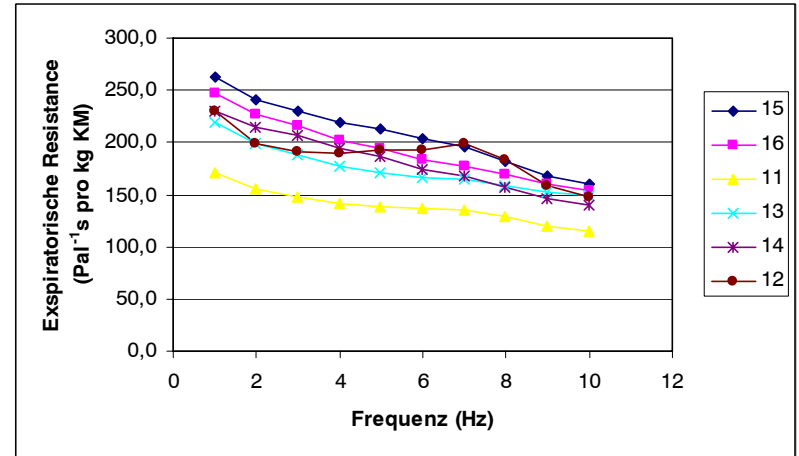


Abb. A 23: Einzelverlauf der Resistance während der Expiration bei den Schweinen der Gruppe III zu Studienbeginn (pro kg Körpermasse)

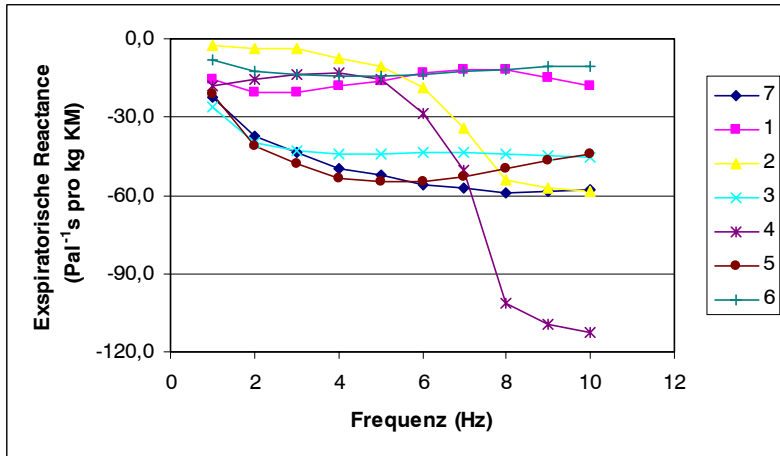


Abb. A 22: Einzelverlauf der Reactance während der Expiration bei den Schweinen der Gruppe I zu Studienbeginn (pro kg Körpermasse)

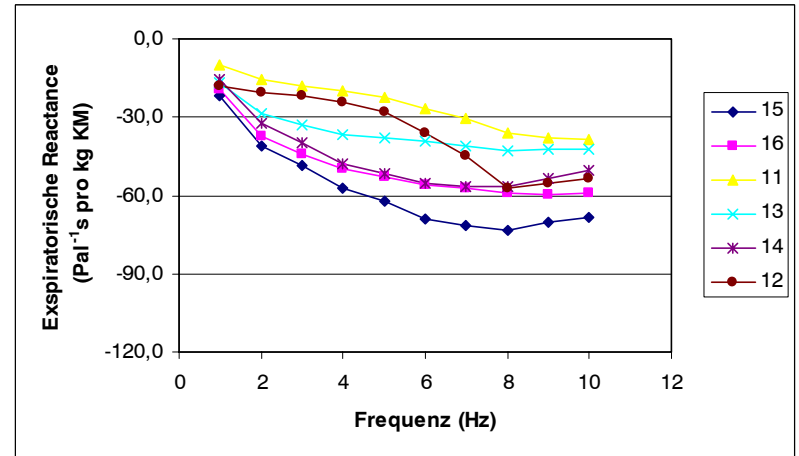


Abb. A 24: Einzelverlauf der Reactance während der Expiration bei den Schweinen der Gruppe III zu Studienbeginn (pro kg Körpermasse)

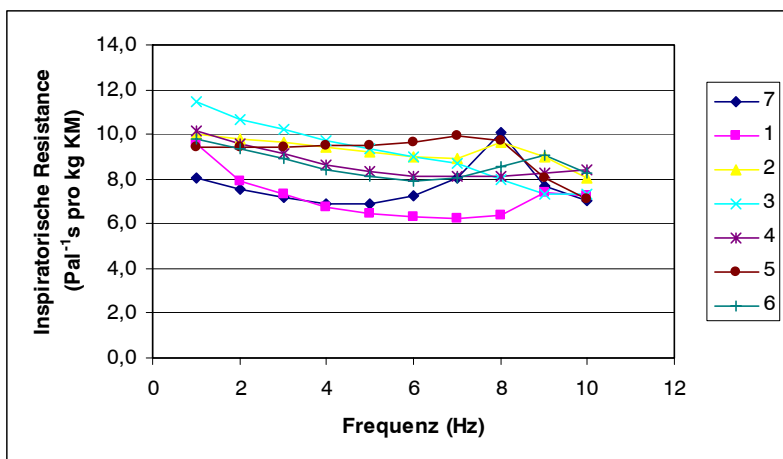


Abb. A 25: Einzelverlauf der Resistance während der Inspiration bei den Schweinen der Gruppe I zu Studienende (pro kg Körpermasse)

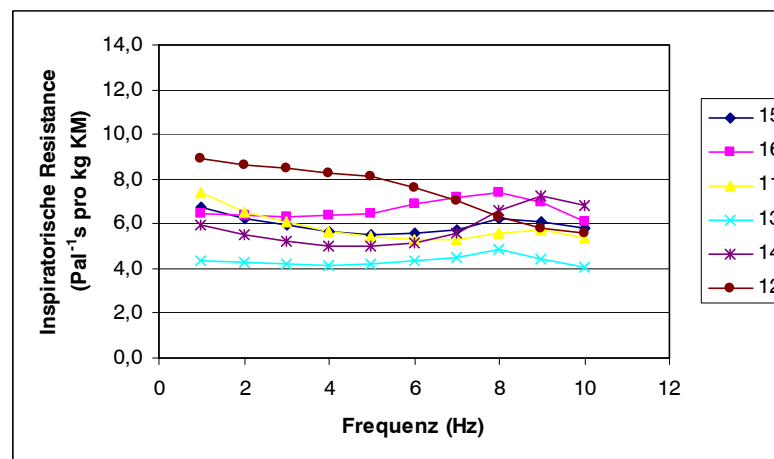


Abb. A 27: Einzelverlauf der Resistance während der Inspiration bei den Schweinen der Gruppe III zu Studienende (pro kg Körpermasse)

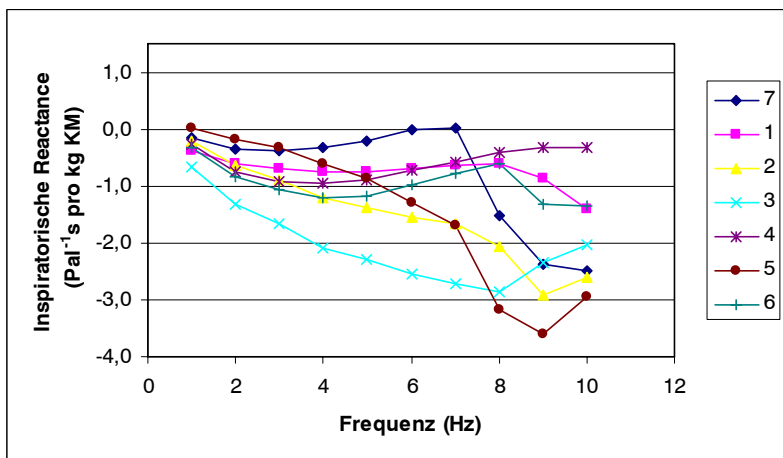


Abb. A 26: Einzelverlauf der Reactance während der Inspiration bei den Schweinen der Gruppe I zu Studienende (pro kg Körpermasse)

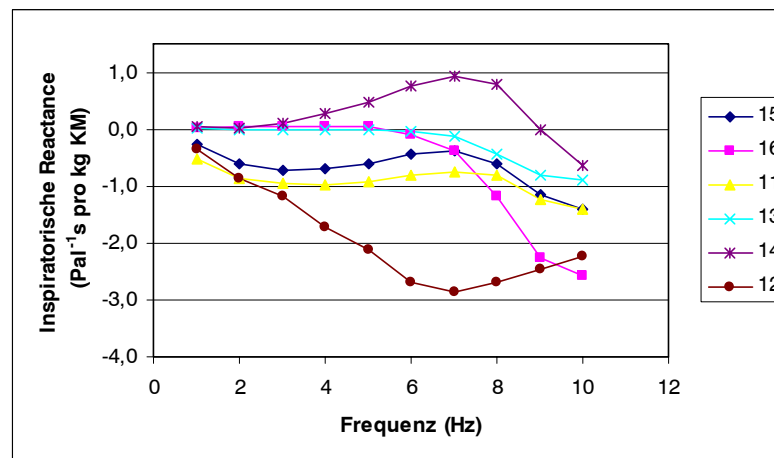


Abb. A 28: Einzelverlauf der Reactance während der Inspiration bei den Schweinen der Gruppe III zu Studienende (pro kg Körpermasse)

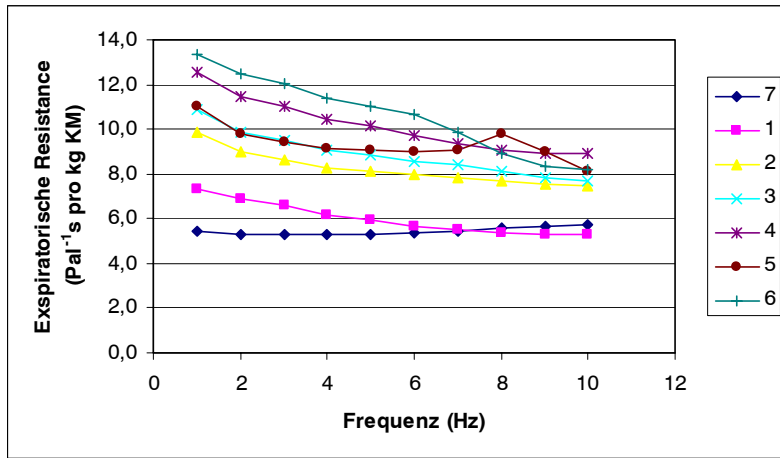


Abb. A 29: Einzelverlauf der Resistance während der Expiration bei den Schweinen der Gruppe I zu Studienende (pro kg Körpermasse)

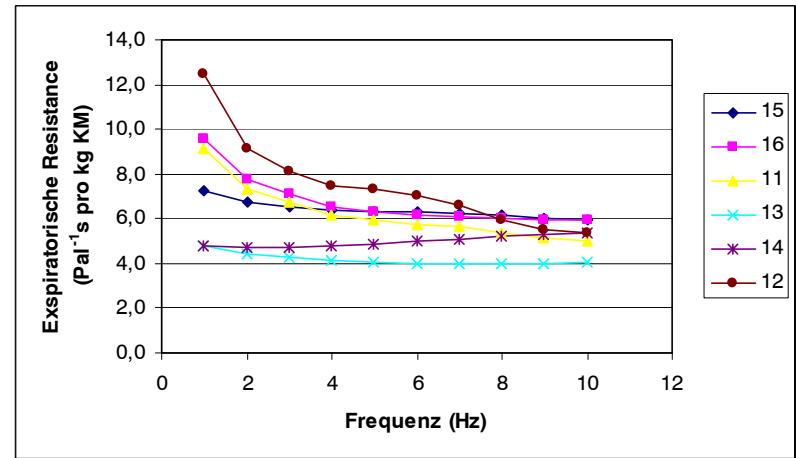


Abb. A 31: Einzelverlauf der Resistance während der Expiration bei den Schweinen der Gruppe III zu Studienende (pro kg Körpermasse)

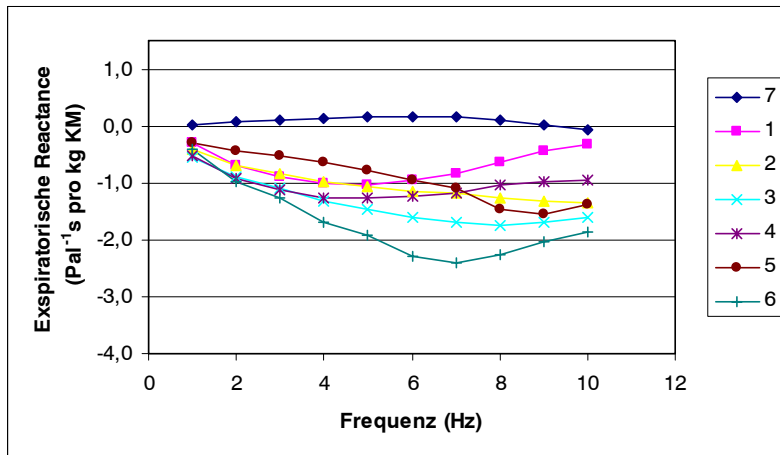


Abb. A 30: Einzelverlauf der Reactance während der Expiration bei den Schweinen der Gruppe I zu Studienende (pro kg Körpermasse)

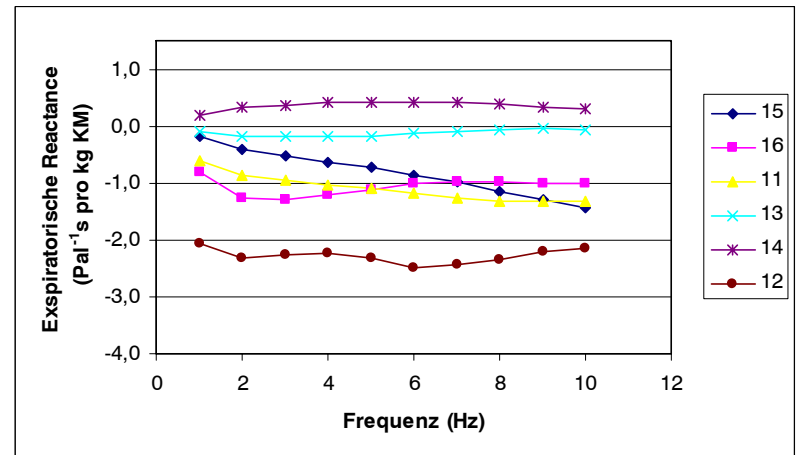


Abb. A 32: Einzelverlauf der Reactance während der Expiration bei den Schweinen der Gruppe III zu Studienende (pro kg Körpermasse)

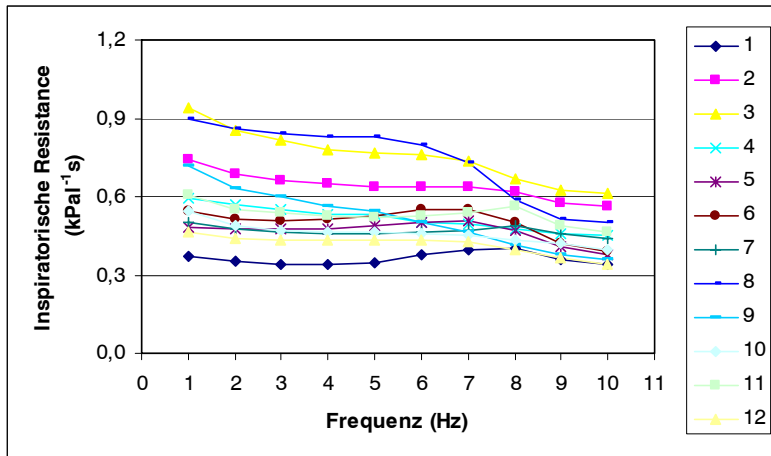


Abb. A 33: Einzelverlauf der Resistance während der Inspiration bei den Kälbern der Gruppe I zu Studienbeginn (Absolutwerte)

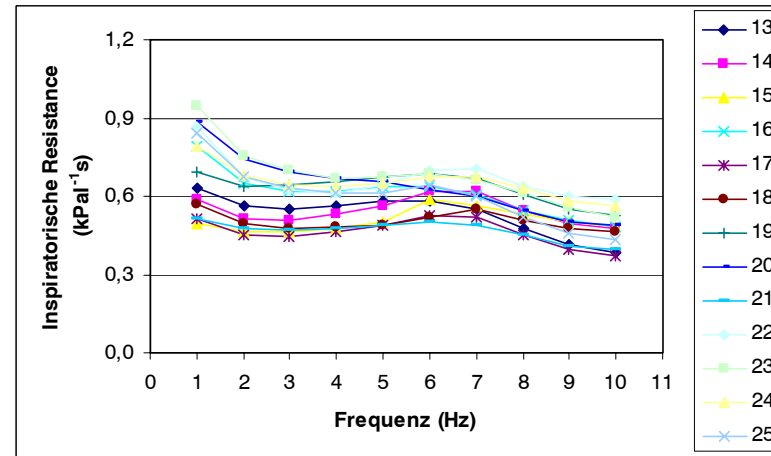


Abb. A 35: Einzelverlauf der Resistance während der Inspiration bei den Kälbern der Gruppe II zu Studienbeginn (Absolutwerte)

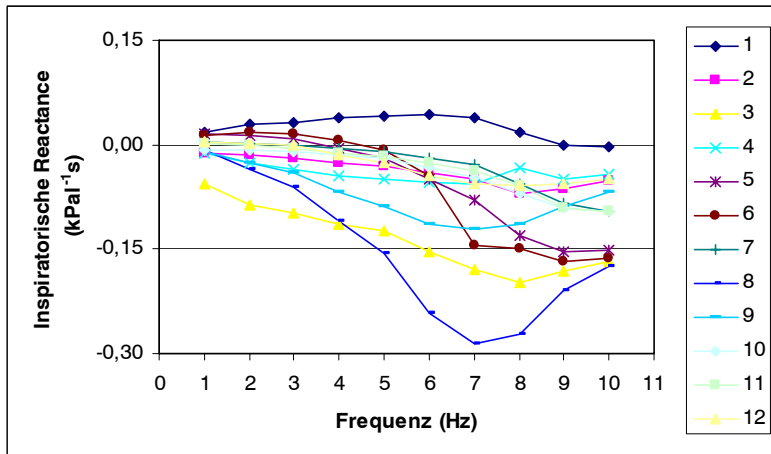


Abb. A 34: Einzelverlauf der Reactance während der Inspiration bei den Kälbern der Gruppe I zu Studienbeginn (Absolutwerte)

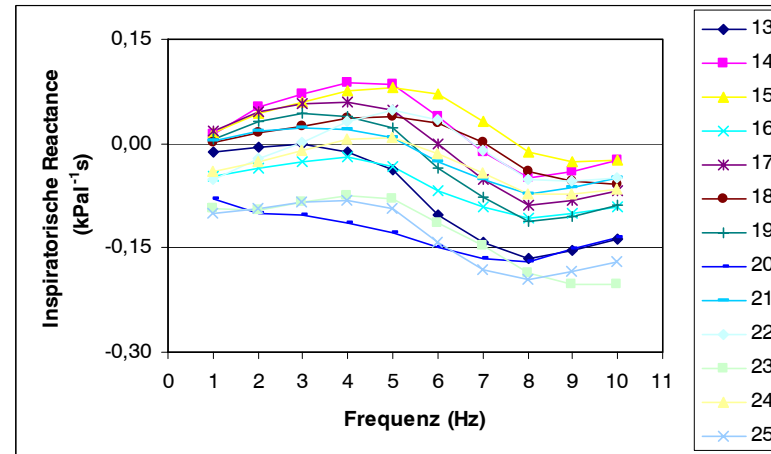


Abb. A 36: Einzelverlauf der Reactance während der Inspiration bei den Kälbern der Gruppe II zu Studienbeginn (Absolutwerte)

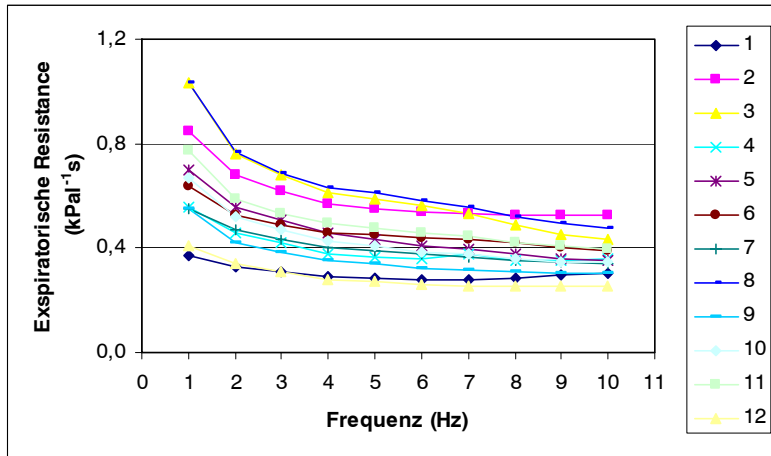


Abb. A 37: Einzelverlauf der Resistance während der Expiration bei den Kälbern der Gruppe I zu Studienbeginn (Absolutwerte)

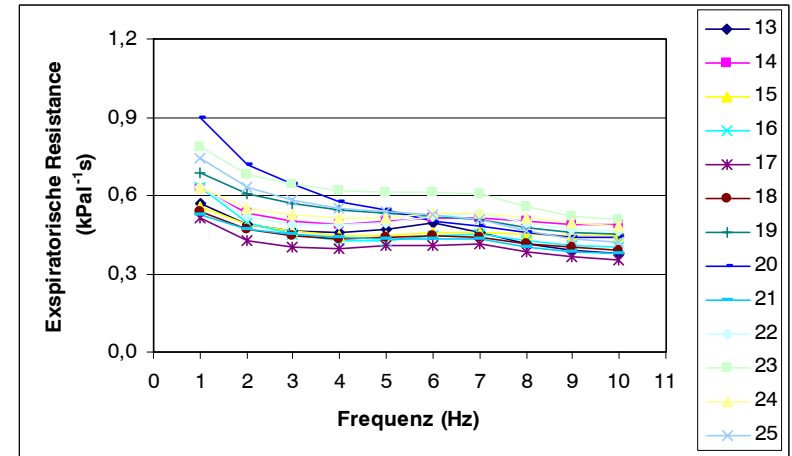


Abb. A 39: Einzelverlauf der Resistance während der Expiration bei den Kälbern der Gruppe II zu Studienbeginn (Absolutwerte)

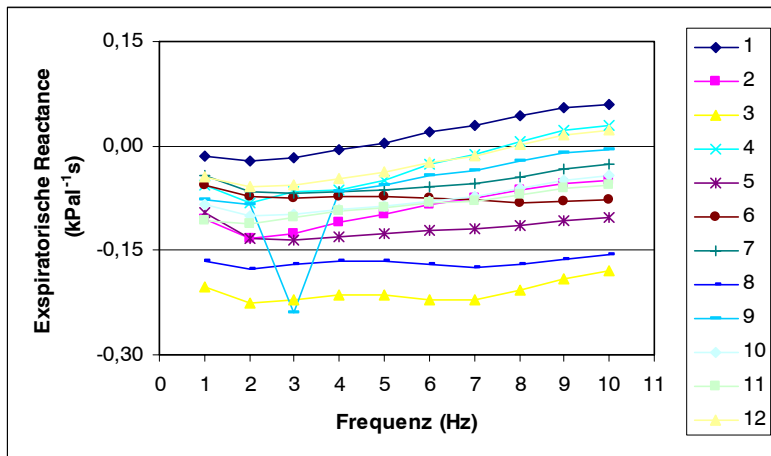


Abb. A 38: Einzelverlauf der Reactance während der Expiration bei den Kälbern der Gruppe I zu Studienbeginn (Absolutwerte)

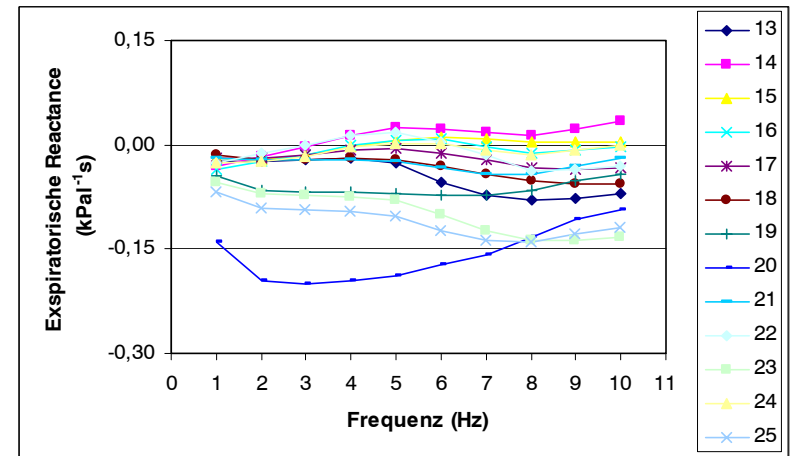


Abb. A 40: Einzelverlauf der Reactance während der Expiration bei den Kälbern der Gruppe II zu Studienbeginn (Absolutwerte)

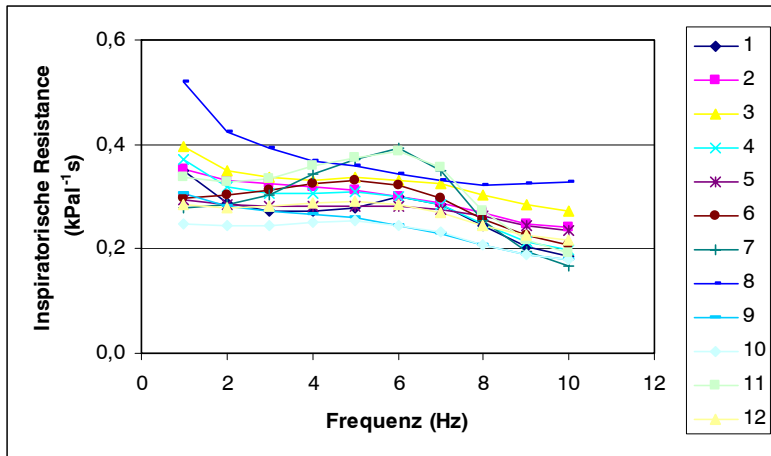


Abb. A 41: Einzelverlauf der Resistance während der Inspiration bei den Kälbern der Gruppe I zu Studienende (Absolutwerte)

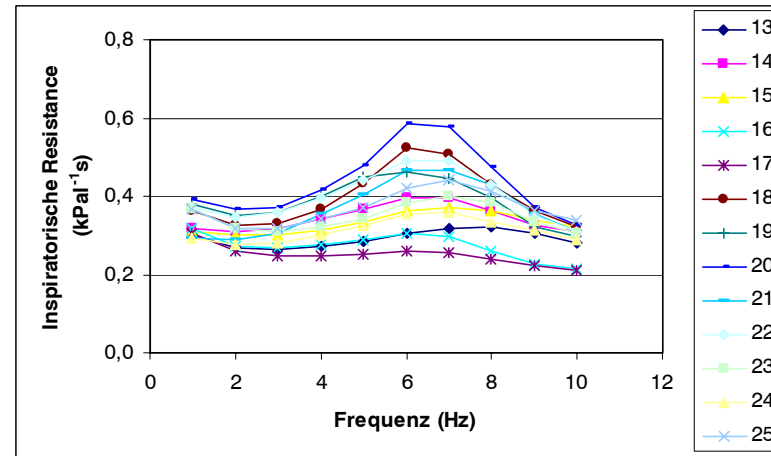


Abb. A 43: Einzelverlauf der Resistance während der Inspiration bei den Kälbern der Gruppe II zu Studienende (Absolutwerte)

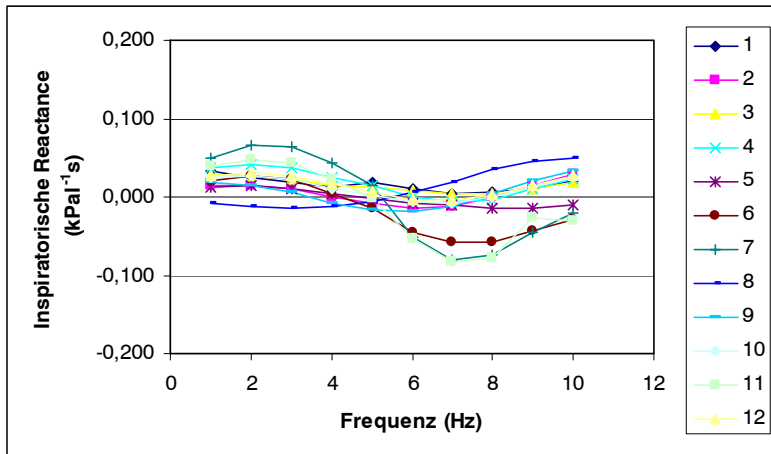


Abb. A 42: Einzelverlauf der Reactance während der Inspiration bei den Kälbern der Gruppe I zu Studienende (Absolutwerte)

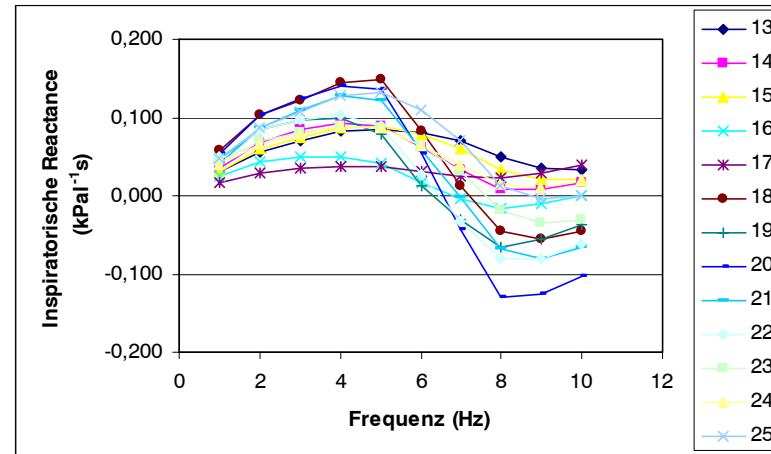


Abb. A 44: Einzelverlauf der Reactance während der Inspiration bei den Kälbern der Gruppe II zu Studienende (Absolutwerte)

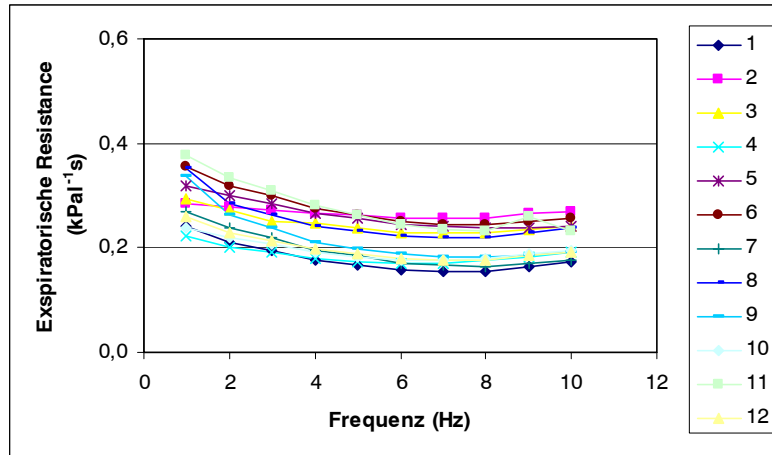


Abb. A 45: Einzelverlauf der Resistance während der Expiration bei den Kälbern der Gruppe I zu Studienende (Absolutwerte)

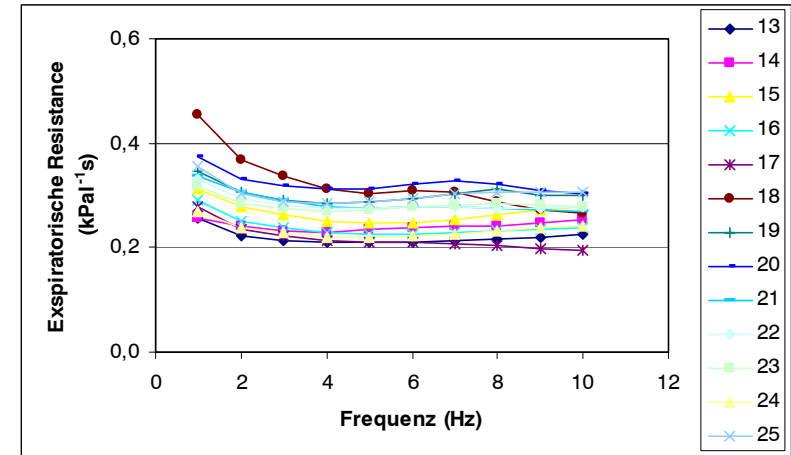


Abb. A 47: Einzelverlauf der Resistance während der Expiration bei den Kälbern der Gruppe II zu Studienende (Absolutwerte)

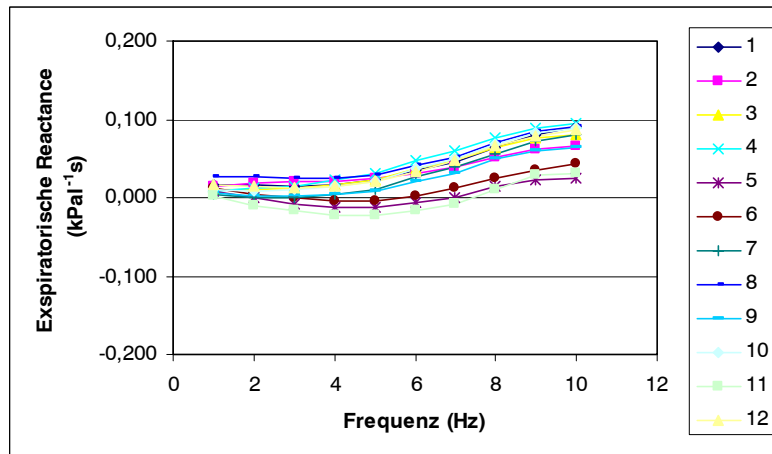


Abb. A 46: Einzelverlauf der Reactance während der Expiration bei den Kälbern der Gruppe I zu Studienende (Absolutwerte)

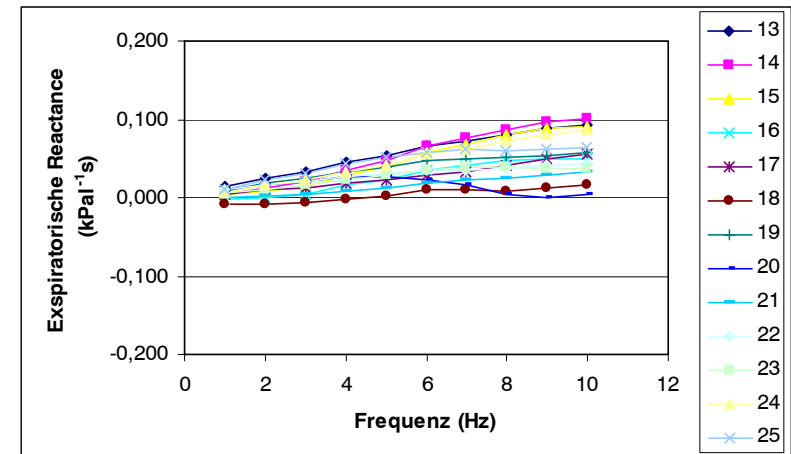


Abb. A 48: Einzelverlauf der Reactance während der Expiration bei den Kälbern der Gruppe II zu Studienende (Absolutwerte)

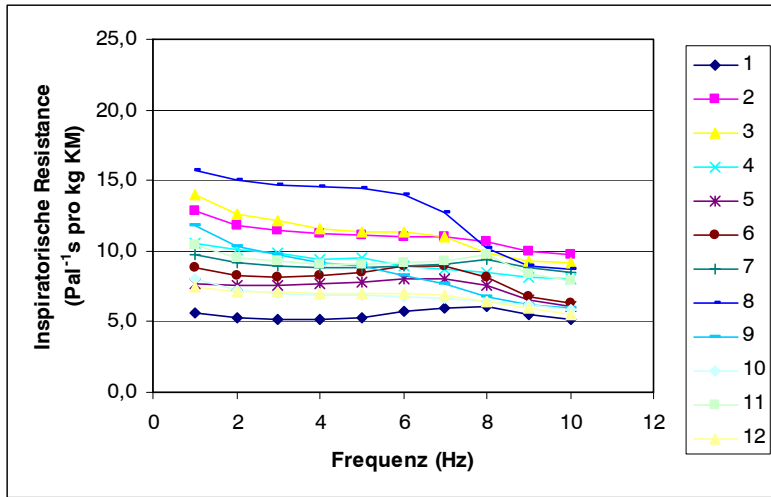


Abb. A 49: Einzelverlauf der Resistance während der Inspiration bei den Kälbern der Gruppe I zu Studienbeginn (pro kg Körpermasse)

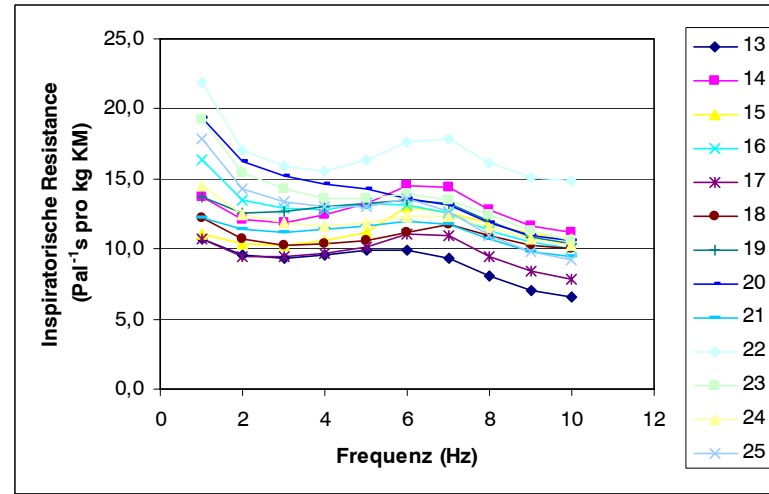


Abb. A 51: Einzelverlauf der Resistance während der Inspiration bei den Kälbern der Gruppe II zu Studienbeginn (pro kg Körpermasse)

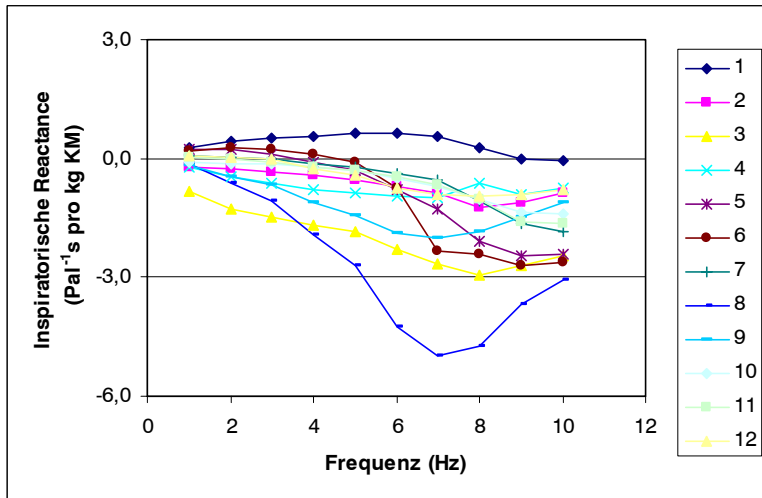


Abb. A 50: Einzelverlauf der Reactance während der Inspiration bei den Kälbern der Gruppe I zu Studienbeginn (pro kg Körpermasse)

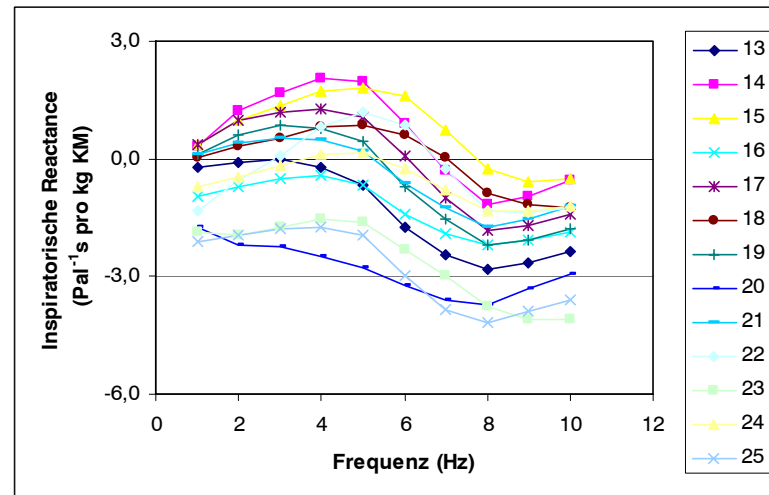


Abb. A 52: Einzelverlauf der Resistance während der Inspiration bei den Kälbern der Gruppe II zu Studienbeginn (pro kg Körpermasse)

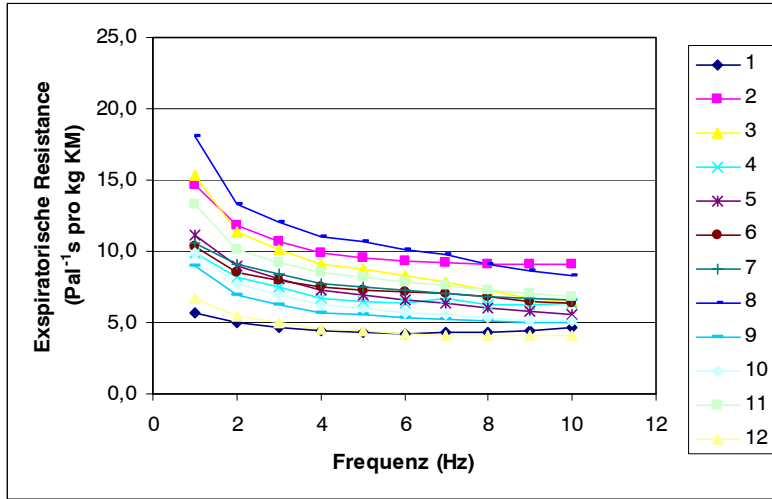


Abb. A 53: Einzelverlauf der Resistance während der Expiration bei den Kälbern der Gruppe I zu Studienbeginn (pro kg Körpermasse)

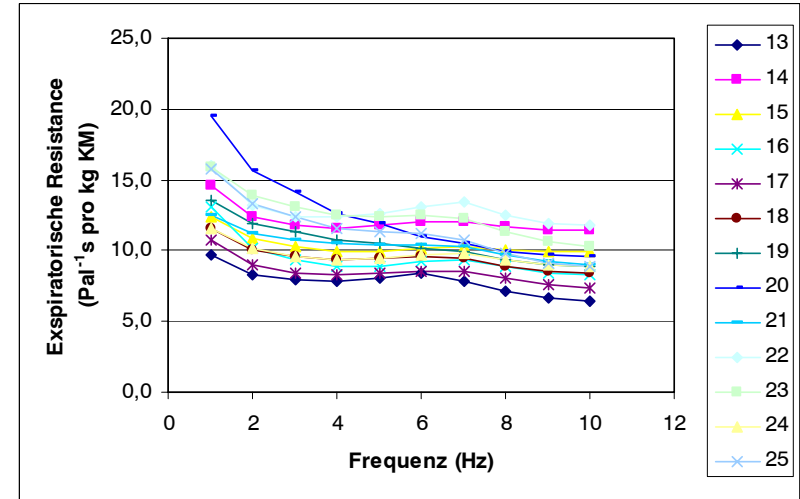


Abb. A 55: Einzelverlauf der Resistance während der Expiration bei den Kälbern der Gruppe II zu Studienbeginn (pro kg Körpermasse)

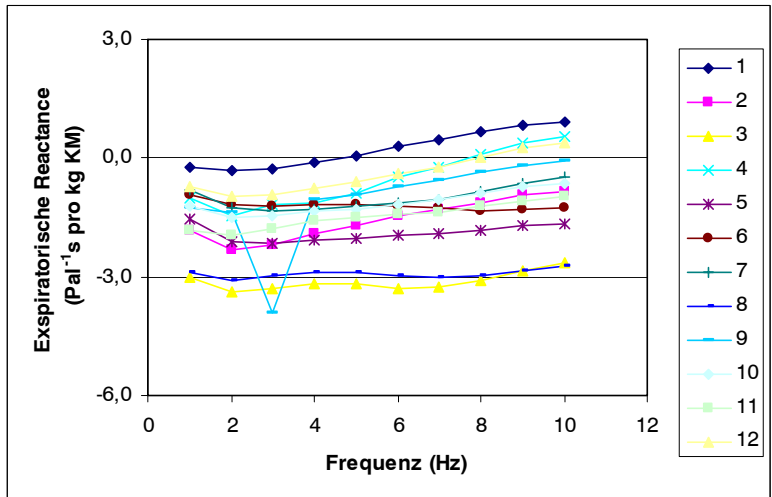


Abb. A 54: Einzelverlauf der Reactance während der Expiration bei den Kälbern der Gruppe I zu Studienbeginn (pro kg Körpermasse)

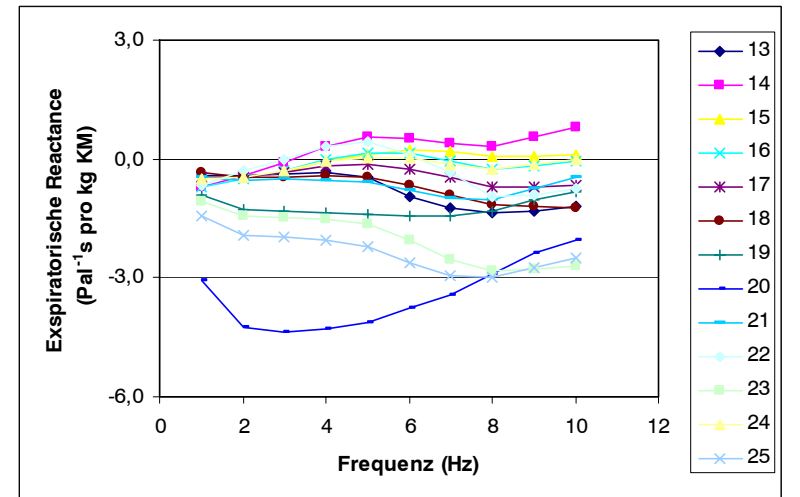


Abb. A 56: Einzelverlauf der Reactance während der Expiration bei den Kälbern der Gruppe II zu Studienbeginn (pro kg Körpermasse)

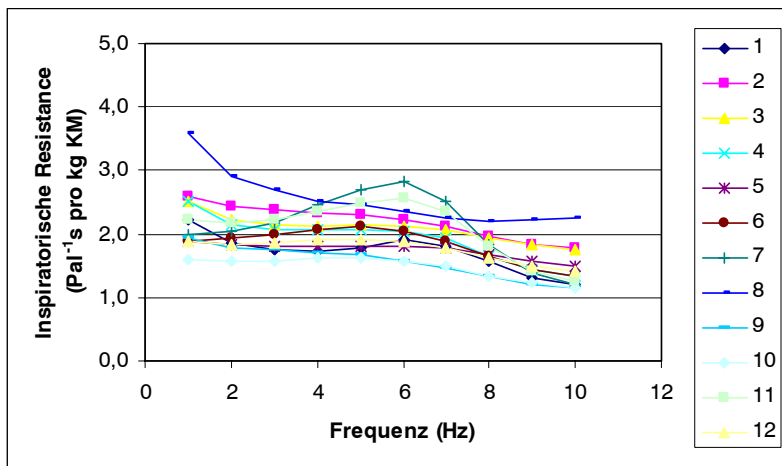


Abb. A 57: Einzelverlauf der Resistance während der Inspiration bei den Kälbern der Gruppe I zu Studienende (pro kg Körpermasse)

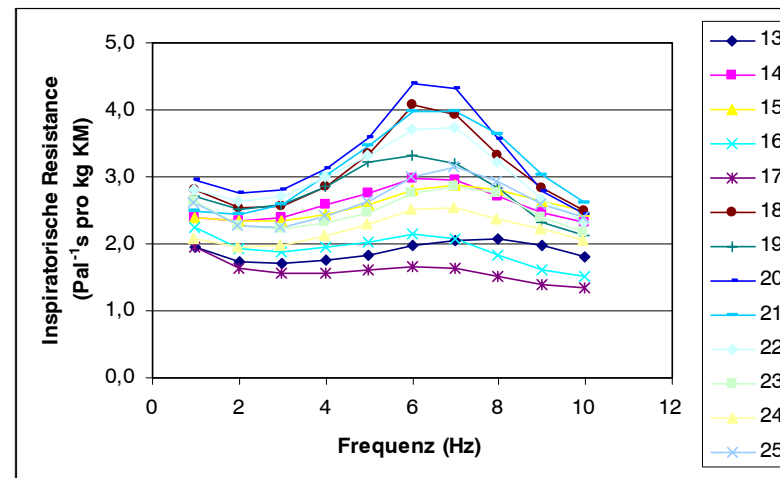


Abb. A 59: Einzelverlauf der Resistance während der Inspiration bei den Kälbern der Gruppe II zu Studienende (pro kg Körpermasse)

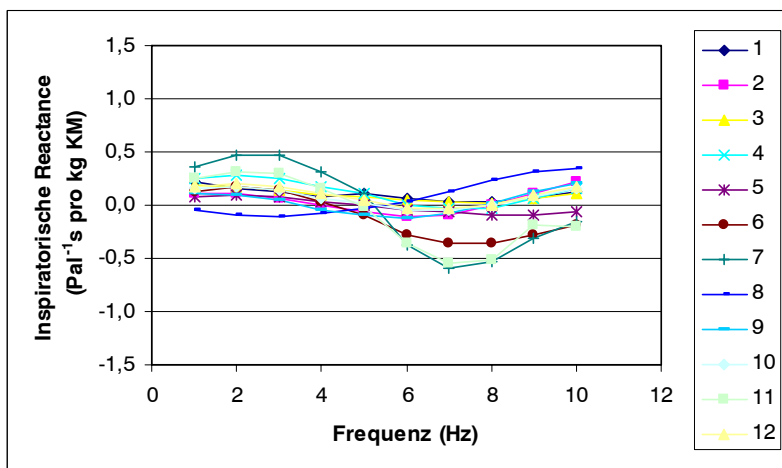


Abb. A 58: Einzelverlauf der Reactance während der Inspiration bei den Kälbern der Gruppe I zu Studienende (pro kg Körpermasse)

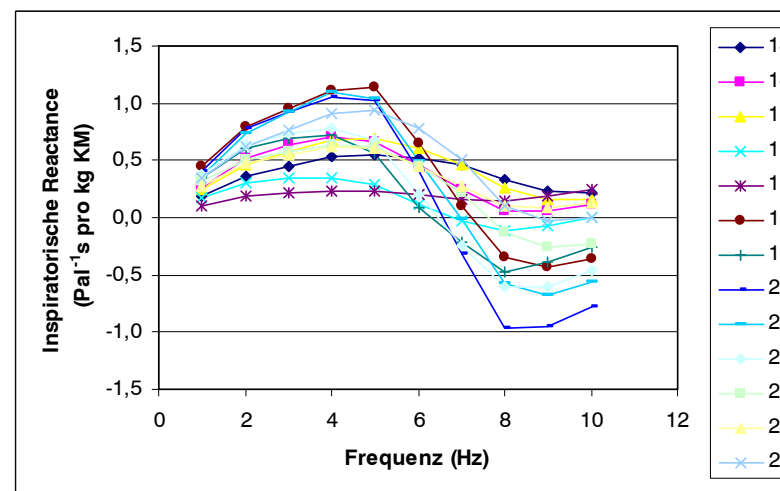


Abb. A 60: Einzelverlauf der Reactance während der Inspiration bei den Kälbern der Gruppe II zu Studienende (pro kg Körpermasse)

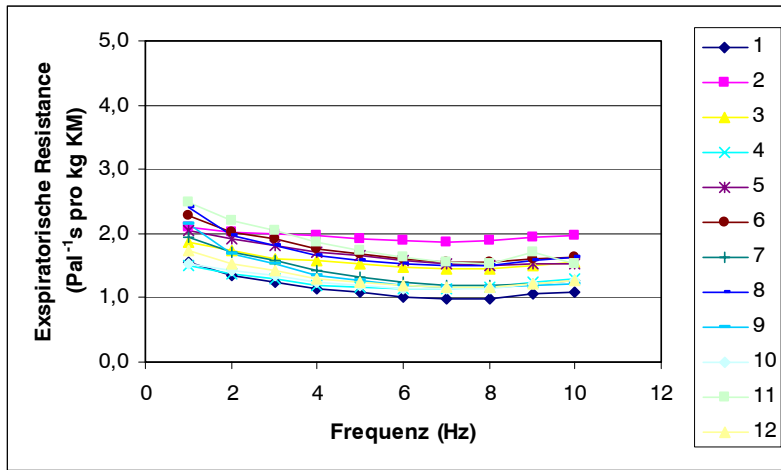


Abb. A 61: Einzelverlauf der Resistance während der Expiration bei den Kälbern der Gruppe I zu Studienende (pro kg Körpermasse)

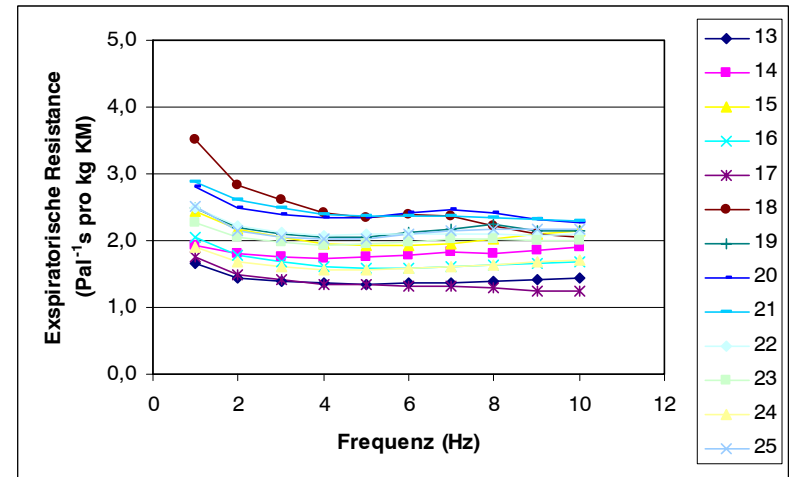


Abb. A 63: Einzelverlauf der Resistance während der Expiration bei den Kälbern der Gruppe II zu Studienende (pro kg Körpermasse)

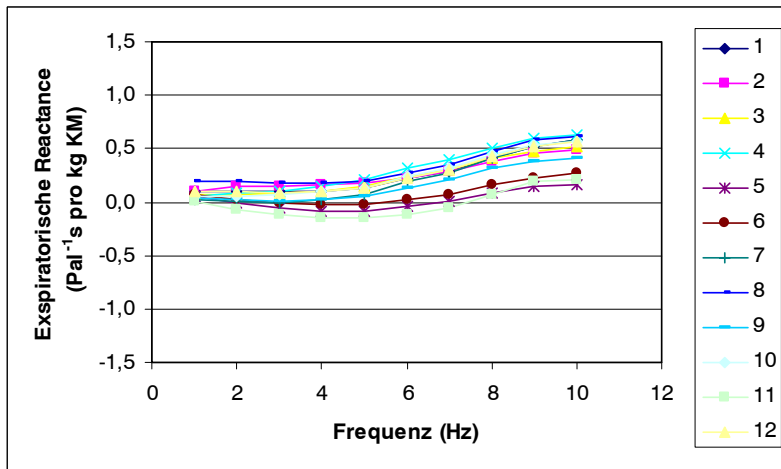


Abb. A 62: Einzelverlauf der Reactance während der Expiration bei den Kälbern der Gruppe I zu Studienende (pro kg Körpermasse)

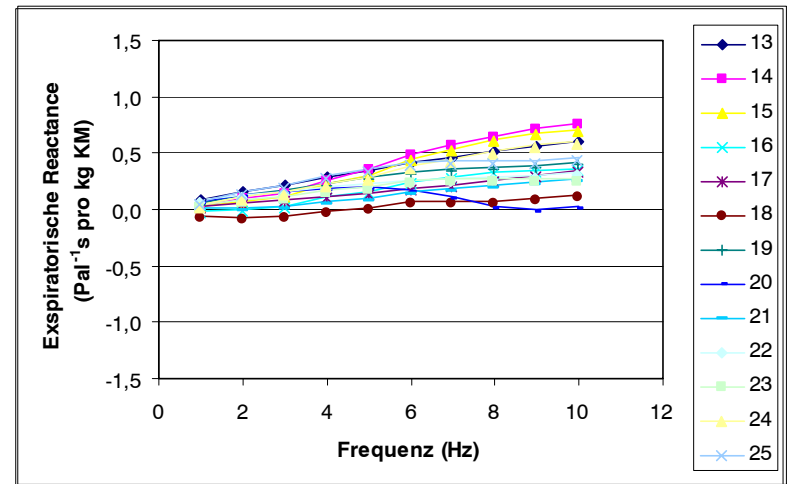


Abb. A 64: Einzelverlauf der Reactance während der Expiration bei den Kälbern der Gruppe II zu Studienende (pro kg Körpermasse)